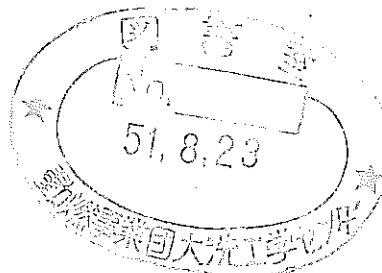


TN 241 71-04

区分変更	
変更資料番号	TRG
決議年月日	平成13年7月31日

## 高速増殖炉構造設計の課題

— 最近の文献より —



昭和46年1月20日

技術資料コード	
開示区分	レポートNo.
	N241 71-04
この資料は 図書室保存資料です 閲覧には技術資料閲覧票が必要です	
動力炉・核燃料開発事業団大洗工学センター技術管理室	

動力炉・核燃料開発事業団

本資料の全部または一部を複写・複製・転載する場合は、下記にお問い合わせください。

〒319-1184 茨城県那珂郡東海村大字村松4番地49  
核燃料サイクル開発機構  
技術展開部 技術協力課

Inquiries about copyright and reproduction should be addressed to:  
Technical Cooperation Section,  
Technology Management Division,  
Japan Nuclear Cycle Development Institute  
4-49 Muramatsu, Tokai-mura, Naka-gun, Ibaraki, 319-1184  
Japan

© 核燃料サイクル開発機構 (Japan Nuclear Cycle Development Institute)

## 序

本調査は高速増殖炉開発本部において、高速増殖炉（本報告書では 発電用の LMFBR をさす。我國に於いては、高速増殖炉、原型炉「もんじゅ」以降に該当する。）に関する構造設計の問題点の調査として行なわれたものである。

高速増殖炉の構造上の設計を合理的にすすめるためには、広範な工学上の課題を検討しなくてはいけない。

本報告書は、これらの方向づけを意図して、編集してあります。皆様の御批評を得て、内容の充実をはかることができれば、誠に幸いに存じます。

なお、本資料の作成に当り、永田敬君（東大）に、多大の御協力を頂いたことを、ここに感謝致します。

昭和46年1月20日

動力炉・核燃料開発事業团  
高速増殖炉開発本部

岡林邦夫

永井洋次

## 工 築 言

高速増殖炉の構造設計においては、現在のところ通産省令第82号および告示501号によつて設計することを主旨としている。設計条件上、これらの規則の適用範囲外の設計条件に際しては、適切な外挿性のあるものが無いため、原則に立ちかえり、ASME Boiler and Pressure Vessel Code Sect III および配管系で、適用されることの明らかな USAS B31.7 に於ける設計基準の Case Interpretation を準用している。

これらはいずれも、軽水炉に対する設計基準であるため、高速増殖炉に対しては、合理的な評価をすることに関して最適であるとは限らない。そこで、高速増殖炉の強度設計を合理的に行う上で課題を文献を調査することにより明らかにしようと考へた。

現在のところ入手している資料では、高速増殖炉の構造強度の評価方法に関する考え方を示す例として参考する程度のものである。しかしながら、米国等では本文中で示されるように、高速増殖炉構造設計あるいは、構造の安全性に関する課題に着目し、研究が進められていくことには、注目すべである。

今後、引続いて、これらの内容について、十分評価をして行く必要があろう。

※ 高速増殖炉の設計規範として完備したものが得られず。

## 正 目 次

こゝでは、下記の各々の課題に対して、各論文を抄訳し、それらの要旨を便宜のため、作成し、まとめてある。

### (A) 高温に於ける "Stop Gap" 設計概念の採用

高速増殖炉の一次冷却系配管の固定系および非固定系に対して、弹性一塑性解析の必要性を論じている。

特に非固定系に於いては、Bellows の可能性について述べている。

#### 〔論 文〕

"Primary Piping Flexibility Analysis for Liquid-Metal-Cooled Fast Breeder Reactors", James T. McKeon, Nuclear Eng and Design 7, 1968, P.427-441

### (B) 高速増殖炉の荷重分類他

新しい Happen Diagram により荷重およびその評価の規準が示されている。

#### 〔論 文〕

"Design Criteria for Sodium-Cooled Fast Reactor Components", Richard Slember, ANS Transactions, Vol. 13, No. 1, 1970, P.116-119 他

### (C) 瞬時破断に関する構造の安全性の評価方法

軽水炉に於ける一次冷却系に対する一連の構造に対する安全性の研究の中間報告として報告されていいる。

#### 〔論 文〕

"Reactor Primary coolant System Rupture Study Quarterly Progress Report No. 19", S.R. Vandenberg, GEAP-10143, Jan. 1970

III

IV

V

- A Primary Piping Flexibility Analysis for Liquid-metal  
- cooled Fast Breeder Reactors
- B Design Criteria for Sodium - cooled Fast Reactor  
Components
- C Reactor Primary Coolant System Rupture Study  
Quarterly Progress Report No. 19

# primary Piping Flexibility Analysis for Liquid-metal-cooled Fast Breeder Reactors (by James T MCKEON) 要旨

## 1. Introduction

- Allis-chalmers manufacturing company (AC), Combustion engineering (CE) の一次系配管予備設計をへし令わせながら ASA power piping code 及び ASME Nuclear Vessel code の適用妥当性を調べる → 固定系
- Kellogg 及び Atonics International (AI) の解析手法に基づき、ベローを一次系配管に利用する可能性を検討する → 非固定系
- いずれの場合も、弾性一塑性解析法の発展が肝要である。

## 2 一般的考察

- 設計概念として、許容量は、全体設計、詳細設計、材料解析、構造、安全性、製作の精度と適合性、試験・検査の程度と能力を統合して定めるべきである。
- 配管系設計の妥当性は、次の三点より定まる。
  - 1) 過度ないし破局的塑性流動（全柔ないし局部において）を生ぜしめぬ程、十分に強い事
  - 2) 運転上生ずる機械的荷重・熱的荷重を総合した荷重の繰返しにたえうる最大応力（歪み）範囲を有する事
  - 3) 高温時に於ける応力は、許容クリープ速度、許容クリープ破断寿命により定まる値以下である事
- 一次系配管について解析が必要なのは、以下の四点である。
  - 1) 弾性状態下での応力分布（完全なもの）
  - 2) 弾性一塑性ないし塑性状態での応力分布
  - 3) クリープ下での応力分布
  - 4) サーマルラチエット下での応力分布

## 3 問題点

- ◎ “応力緩和概念の妥当性” —— 配管系設計を従来の方法で行おうとすると非常に

大きな塑性を見込まざる必要を生じる。しかしながら、極限設計法を適用しても、現実には、良好な実績を上げている。弹性-塑性解析 塑性解析をコンピューター利用により、複雑な形状に対して適用し、その上で、応力範囲の評価を行う必要がある。

- ⑤ “局所的過歪み及びクリープ集中” —— 系の正確な弾性-塑性解析、塑性解析により、系の歪み分布を知り、必要な場合には、局所的な集中をさける必要がある。クリープに因しては、時間要素も考える。低延性材料及び高温での長時間使用に際し、延性低下を避けたい材料（特に Tyre 347H オーステナイト鋼）では、正確な歪みの評価が必要である。
- ⑥ “サーマルラチエット” —— エルボー部が熱により、大きな曲げモーメントねじりモーメントを受ける場合にもおこる。高温での長時間使用により、延性が低下する場合には、破壊の原因にもなる。
- ⑦ “弹性・非弹性坐屈” —— 全体としての円筒坐屈と局部坐屈に分けられる。前者は、サポート形式で防ぐが、後者は解析により安全をはかる。  
そこでの問題点は（ア）応力範囲概念は非弹性坐屈と矛盾しないかという事（イ）熱膨張による不安定性の特性は何か また、解放されない荷重によるものと、どう違うのかという点である。

#### 4. 運転条件

本文参照

#### 5. 固定系

- ⑧ 現行設計規則 —— U.S.A.S. Code for Pressure Piping B31 —  
は、良好な実績をあげてはいるが、最新の理論を反映してはおらず、応力計算式も不十分である。問題点を指摘すると  
ア) 解析法 — 抽括的、近似的であり、厳密な塑性解析はできない。複雑形状、付属構造物の解析も含まれていない。  
イ) 内圧 — 比較的低圧の薄肉円筒では妥当  
ハ) 膨張应力 — 平面内曲げでは、最大应力は、円周方向であるのに、軸方向で

あるとする理論的誤りがあるようである（結果は一応安全側にある）膨張応力として曲げ及びねじり応力しか考えていないが、軸方向荷重、垂直剪断の影響も LMFBR 一次系配管系では考えるべきであろう。

② 応力計算値の制限値 — 静的特性値のみによっているが、疲れを考えるべきである。現行設計規則が十分な実績を上げてきた点はあるが、少くとも設計のチェックには、改善された解析方法を用いるべきである。

#### ④ Nuclear Vessel code Section III による解析 —— 省略

⑤ Nuclear Vessel Code による解析に対する批判 — 応力範囲概念を取り入れていない点が問題である。そのため Section III の適用は、運転温度  $700^{\circ}\text{F}$  ないし  $800^{\circ}\text{F}$  までに限定されている。Section III Case 1331.1 では stop-gap の概念を取り入れ、適用範囲を  $1100 \sim 1200^{\circ}\text{F}$  までに拡張している。しかし stop-gap の概念を有効に生かすためには、より厳密な弹性-塑性解析が必要である。

### 6. 非固定系

- Y線遮断が必要な一次配管系では、ベローを用いると、系がコンパクトになり経済的利点は大きい。
- ④ 本章中では Kellogg 及び AI の設計解析法のみについて述べられているが、その両者とも、まだ完全なものではなく、それそれで求められる計算値はかなり大きな差を示す事が記されている。両者の特徴を（本文で述べられている限りで）若干箇条書きにして示すと
  - Kellogg の方法 — 通常型膨張ベロー (convoluted expansion bellow) だけについてのもの
    - Salzmann の研究の延長
    - 疲れ破壊を考慮している。
    - ベロー本体の厚さ（補強リングがある場合はその厚さも）は、実験式よりステップ状に変化させる
    - 最大 応力は、各点の円周方向応力、軸方向応力を計算して求める。

○ AIの方法 —— Clark の研究の修正

- ・ 疲れの特性は入っていない
- ・ ベローの公称厚さは、一定のままとする。
- ・ 最大内圧応力と最大たわみ応力は同一点に生ずるとみなす。

さらに、補強リングの荷重負担部分の評価法があり、それが両法による計算値が相違する事の最大原因であろうと述べている。

② Nuclear Vessel Code 解析では、非固定系の設計は不可能であり、ベローが通常塑性領域で設計される事を考えれば、実用的ベローの設計には、弾性一塑性解析が必要である。

③ 現実的使用にあたっては、トロイダル型ベローのような、より適当なベローの使用もさぐるべきである。さらにまた、ベローの使用にあたってはドレンの問題、温度変化による応力分布の変化もまた考えるべきである。

## LMFBR COMPONENTS III : Piping and Vessels 要旨

### 1. LMFBR の容器及び配管材料について

- 容器用・配管用としては、304合金ないし316合金が適当 (ASME Sec IVの限定中では) フェライト系合金は中性子照射のため、高ニッケル合金はコストが高いため不適当
- 配管では、底層移行、銹歯化、脆化等に注意が必要である。

### 2. 各々のナトリウム冷却炉構造要素の設計基準 (ホッパー線図を含む)

- LMFBR 系の從来の水冷却炉に対する特徴  
1) 液体ナトリウム冷却材 2) 高運転温度 3) 苛酷な周期的運転条件のもとでの30年の耐用年数
- 耐用年数が長いという事、また高温であるという事から許容応力が低下し必要壁厚は大となるが、逆に、温度勾配・熱勾配からは、壁厚の小なる事が要請される。
- 応力を持続的 (sustained) 温度的 (transient) に分け、さらにその中でまた分類して、制限値を定めようとする方向が示されている。

### 3. LMFBR に関するコードについて

- 容器・配管に対して適用しうる現在のコードは、ASME Section IV, ASA B31.7 であるが、これらは 700ないし 800°Fまでであり、ASME Code Case 1331 及び B31.7 Case 67 では、オーステナトイ系ステンレス鋼に対し 1200°Fまでの基準を与えている。
- この論文で扱われているのは 700~800°F以上の温度での規則についてである。
- Case 1331 にも問題があり、主要な修正に関しては the ASME subgroup on Elevated Temperature Design で準備中である。

#### 4) LMFBR密着に対する溶接法

- TIG溶接 被覆アーク溶接 サブマージアーク溶接 エレクトロスラグ溶接について、その特徴を述べている。
- 溶接後の熱処理は as-welded 状態にするのが最善である。
- 運転状況ないし運転近似状況で、溶接部の機械的特性を、冶金学的な面から研究中である。
- 溶接棒の被覆は、クリープ破壊特性に差し影響を有する。

#### 5) ナトリウム冷却高速炉ループ系の供用中の検査

- 検査及びモニタの理想的な能力は、経済的、技術的考慮に基づく実用水準と調和する必要がある。
- 供用中のモニタリングとしては、漏洩の検出、温度、振動、永久変形、応力波の放出の測定があり、供用中の定期的検査としては、超音波による探傷、ループのテレビによる検査、厚さ測定、表面仕上げのレプリカ法による検査があり、施設内設置の試験片の検査による構造材への照射効果のサーベイも推奨されていきる。
- ここでは、上記のサーベイ及び検査を可能とするのに必要な開発、研究の大筋が述べられている。

## GEAP No19 要旨

### Task A 損傷確率の研究

- 損傷を生ずる原因と進展の程度によって、損傷を段階に分類し、損傷確率線図を示し、次に、各段階に対してそこでの基本関係式を定性的に呈示している。
- 特に、重大破損（全断面の瞬時破断ないし断面相当の面積を有する開口部の形成）については、マインチ Schedule 80 鋼管パイプの場合を用いてかなり詳しく述べている。即ち、クラック生長曲線 非漸減クラックにより重大事故が生ずる限界クラックサイズ、壁厚の三つの線よりクラックの生長に伴う損傷の形態を考えるが、これは様々な要因によるそれそれのがらつきを考え、その帶域の重なりより推定する手法をとる。但し、荷重の種類による（或はその組合せによる）クラック生長曲線（長さ／深さ比の大きさと分布）が明らかでない点が問題であると述べている。

### Task B 応力解析

PAPA 計算コード開発の一環として周辺計算コードの評価及び PAPA コードの工学的な面からの検討が進行中であると述べられているにすぎない。

### Task C 破壊力学

- ASTM A-234 T部及びエルボー部の欠陥に対する耐荷重限界を定める研究が進行中である。現在のところマインチ Schedule 80 のみではあるが欠陥を有する T部 1体、同じくエルボー部 1体 軸方向欠陥を有するエルボー部 3体 円周方向欠陥を有するエルボー部 3体が試験され、さらに 15 体が試験される予定である。（欠陥はいずれも非貫通欠陥）

軸方向欠陥に対しては、三体のデータだけから見る限り、エルボー部は直管部より非綫形であるようである。

### Task D 循サイクル疲れ

#### Task D-1. 疲れクラックの生長の研究

- A 106-B, Type 304 ステンレス鋼の直径 6 インチ Schedule 40 のつき合わせ溶接部でクラック生長速度を調べ、先の非溶接部の結果と比較している。
- 形状は、先と同じく半円筒形状を用い、室温で行った。

・ 溶接法は

Type 304 ステンレス鋼 … 溶接材：Type 308 ステンレス鋼、TIG 手溶接 A 106 B …… 溶接材：低炭素高マンガン鋼、TIG 手溶接及び被覆アーチ手溶接で、溶接後熱処理は、いずれも行っていない。

- 溶接金属による補強部は除いた（A 106 B ではうまくいかなかった）
- クラック生長速度と応力集中の関係は Type 304 鋼では溶接・非溶接では同じ、A 106 B では溶接した方が生長速度がやや遅い。
- Type 304 では溶接部の方が母材よりもクラック生長に対する抵抗が小さいようである。A 106 B では、その差であるようだが、溶接部の厚さがやや大きくなってしまったため、一見どう見えるのか明らかでない。

#### Task D-2 クラック発生

レポートが準備中であるとのみ記されている。

#### Task D-3 原型パイプの疲れ

Type 304 ステンレス鋼 Schedule 40 エルボー部の  $550^{\circ}\text{F}$  における平面外荷重による疲れ試験の結果が記されている。

#### Task K BWR 離心力の影響

— 省略 —

IV 參 照 文 獻

Primary Piping Flexibility Analysis  
for Liquid-metal-cooled Fast, Breeder Reactors  
(LMFBR一次系配管の柔軟性解析)

James T. McKEON

The M. W. Kellogg Company Research and Development Dept.  
Mechanical Engineering Development Division  
Edgewater Jersey City N. J. 18854 U.S.A

Received 22 Feb. 1968

LMFBRの一次系配管の設計及び解析に於ける主要な四つの問題について、即ち、  
“応力範囲”という概念の妥当性、局部的過歪み及びクリープの集中、サーマルラチ  
エット、弹性及び非弹性座屈についての議論、固定配管系（熱膨張が配管或自身の柔  
軟性に吸収される場合）及び非固定配管系（熱膨張がベロージョイントによって調節さ  
れる場合）それぞれに対し現在の設計方法を適用できるか否かについての検討、現  
在の設計規則についての批判

## 1 Introduction

### 1.1 研究目的

USAECのChicago Operation Officeとの契約（契約番号AT(11-1)1454）によつてなされたこの研究目的は AC C.E., S.E., WH 各社によつてなされた 1000 MWe 高速増殖炉設計研究の一次冷却系の配管  
についての調査研究であった。四社の設計研究はそれぞれ概念的にも異つてい  
るにもかかわらず、配管系は四社の設計全てに共通のものであった。即ち、配  
管系の熱膨張に対する安全性を考慮した設計である。

配管系はいづれも熱膨張を次の様な方式で設計する事により安全性をはかり  
得る。  
(1) 固定系：膨張分はエルボー部管の長手方向の長さ等の配管要素固有  
の柔軟性によって吸収する。  
(2) 非固定系：膨張はトロイグル型、或は通常型  
ベロージoint等により調節される。  
(3) (1)及び(2)を組み合わせたもの。

この研究の主たる目的は、液体金属を用いる一次冷却系の設計研究に於て、

薄肉管を用いた膨脹ループ及びベロー継手を大管径系にその直藝状況下で用いた場合、その利用に伴う問題点を明らかにすると共に、これらの系に対して現在の設計法を適用する事の意味、評価し、さらに、これらの系を確実をもって設計しうるようになるためには、いかなる研究が今後必要であるかを論述する事である。

## 1.2 概要と結論

AC 及び CEC による設計研究にみられる二つの一次冷却系配管の予備解析に従えば、現在の ASA Power Piping Code の規則に基く設計はさしたる問題を呈せぬ様に思われる。しかしながら、この論文の本論で細かに述べられるようにこの場合のような極めて過酷な使用に必要な安全性を保証するのに、この規則で果して十分か否かは疑問視してみる方が妥当であろう。その規則はさして過酷でない使用に対するでは十分であろうが、一次冷却系配管には一層細かい分析が必要とされる。

Atomics International によって開発された設計手法によれば、一次冷却系で膨張用ベローを使用する設計が可能であるという結論が得られるようであるが、この論文中で示されているように、一次冷却系のような過酷な使用の場合、最近使用されているベローを設計に取り入れる事に関しては、本質的な問題がある。

現在の解析能力に基づき、製作テクニックと検査能力を十二分に認識した上で、より厳格な設計手法が開発され、1000 MWe 高速炉の一次液体金属冷却材に対して、配管及び配管要素の安全設計をはからねばならぬ。

配管及びベロージョイントのような配管要素の双方に対して過酷な使用に足る設計手法なるものは、構成物質の非弾性的挙動及びクリープや荷重状況に起因して、不安定な挙動及び坐屈が起り易いという事を十分に評価せねばならない。クリープ及び塑性変形に起因する局所的過歪み状況およびサーマルラチエットの可能性も考慮せねばならない。さらに、応力・歪み分布について、方向による許容限度の違いの影響も考慮ねばならない。

配管及び配管要素に対する設計手法を開発するためには、USAS Power

Piping code 及び ASME Nuclear Vessel code の基本設計手続を詳細にわたって調べ、適合を企る事が必要である。そのためには、許容設計应力、解析的過差みの可能性、サーマルラチエットの可能性についての適当な基礎に関する問題に答えるための配管及び配管要素の細かな弹性・塑性解析が必要である。許容設計应力としては、その基礎として、静的試験に於る材料特性ではなく、疲れを用いるという事 Markel による試験値に基づく係数のかわりに実際の材料の性質及び理論的な応力集中係数を用いるという事を十分に調査せねばならない。

伸長ベローの場合、特に補強リングを用いたベローの場合には、一次冷却系への使用を完全に可能とするような設計手法は皆無である。M. W. Kellogg の方法は、満足に足る使用経験を持たし Atomics International の手法もまた同様に良好な設計結果を始めたといつても良いであろうが、両手法の差は無視するにはあまりに大である。

ここでもまた、詳細にわたる弹性・塑性解析が、適当な設計手法を結論として導き出すのではないかと、期待される訳である。V型のベローよりもトロイタルベローの方が優れている点がもしあるとするならば、それもまたはつきりする事になろう。

## 2 General Consideration

原子炉用一次冷却系配管設計は広く分布しがちな様々な危険を含む物とか長区间にわたる有害な影響とか、冷却材流量の欠損による炉心損傷の可能性等の新たな問題を提起している。さらに、従来の動力用配管の場合とは違つて、定期的な保守検査は、原子炉用配管の場合、視覚によつては不可能である。このような理由のため K. USAS - B31.1 - 1955 及び B31.10 - 1967 に含まれているような動力用配管に対してかつて用いられた準純化された Code の法則はもはやそのような過酷な使用には不十分である事は明らかである。この点については ASME Boiler and Pressure Vessel code Sec VII - Unified pressure Vessels に用いられている手法とは対照的な Section III - Nuclear Vessels に組み込まれてある改良された設計及び分析方法によつて証明されている。若干の

ガイドンス的取扱いについては、将来の U.S.A.S. B31.7 Code for Pressure Piping - Nuclear Power Piping より将来は得られるかもしれない。しかししながら、このコードがしつかりしたものになるまでは発電施設でかって得られた経験を取り入れ、また、原子炉圧力容器の設計に必要と見做された設計・解析の改良集を組み込んで規則を公式化する事が必要となろう。

配管系の設計に於ける完全な安全性は、材料の基礎的挙動及び数学的解析手法についての現在の我々の知識ではまだ得る事のできぬ幻影でしかない。この知識面に於けるギャップを大まかに安全率を利用して埋め合わせるのが、かってのやり方であった。そのような安全率なるものは、配管の形状が単純なものであつたり、或は数学的手法が解析に利用しうる場合には、適当なものである。複雑な形状や荷重状況の場合には、名ばかりの安全率を用いて損傷を予知する事は不十分なものとなる。過酷な使用の場合には、このような安全率はクリープや塑性変形や被れによる局部的過歪みに起因する損傷が絶対に起らぬ保証を与えるからである。これは、安全のために用いるマージンが応力の上昇の中で或は不適当な製造・組立・建設工程のために生じた材料中の欠陥のために使い果され得るからである。配管系の損傷を最大限防ぐために必要な事は配管の破損について知られていくその原因の全てを考えに入れたような設計概念である。

この設計概念は Mulphy 等によって述べられているように(5) "balanced economic design" という概念の中に含められている。それが言葉を直りれば、"配管系の許容量は以下の影響を総合した上で測られるべきである。全体及び詳細設計、材料の解析、構造、安全性、製作の精度と適合性、検査、試験の程度と能力"

これらの点の内、いずれを削減化しても、システムの完全性を危くする事になる。"balance economic design" なる概念は、いかなる原子炉一次配管系においても設計に際して忠実に守られねばならぬ、特殊な利用に供する材料は明らかに深く検討されねばならない。さらに、材料中に生じうる欠陥のタイプを明らかにし、またさうる事であれば、それを除くために 製造工程も研究しなければならない。システムの完全性を著しく損うような応力上昇要因を除くように、組立工程 その他細かな事も特別にせねばならない。検査工程の能力と限界もまた有

當な欠陥を見落さぬ事を保証するために調べてみなければならない。最後に、詳細設計及び全体設計は、可能な限りの、理論的及び経験的手法と可能性を組み込まねばならない。以上の点全体は最終設計で考えられるものであり、ここでは、詳細設計、全体設計を考える事にする。

配管系設計の妥当性は、次の三つの要請により決められる。

- (1) 週度又は破壊的な全体的或は局部的降伏を生ぜしめぬ程度の十分な強さ
- (2) 機械的・熱的組み合せ荷重の運転上必要な繰り返し数に対して十分な最大応力(歪み)範囲
- (3) 高温時に受ける応力の水準は許容されるクリープ速度或はクリープ破断寿命に一致している事

上記の基本的規則は配管系が固定系か、非固定系か、或は両者を組み合わせたもののいずれであるにかかわらず、一般的なものである。

設計詳細により、固定系或は非固定系となる訳であるが、一次ループ配管系については、解析は以下の諸点について必要である。

- 1) 完全なる弾性状態での応力分布
- 2) 弾性-塑性、或は塑性領域での応力分布
- 3) クリープ下での応力分布
- 4) サーマルラチエット下での応力分布

### 3 Problem Areas

配管系の構造設計における問題点は、系が固定系か、非固定系か、両者を組み合わせたものであるか否かにかかわらず同一であり、以下の通りである。

1. "Stress range" 概念の妥当性
2. 局所的過剰歪みとクリープ集中
3. サーマルラチエット
4. 弾性、非弾性安定性

#### 3.1 "応力範囲" 概念の妥当性

*the code for pressure piping — 原油用放長パイプ — USAS*

B31.3 - 1966 からの以下の抜粋は「応力範囲」の概念を説明したものであり、本質的に ASA-B-31.1 1955 及び ASA B 31.3 1962 もまた同じである。

“一定の荷重（例えば内圧とか重さなど）による応力と遅延て熱膨張による応力は局所的な降伏やクリープを開始するに足る大きさを有する事がある。高温状態で付隨的に応力の減少がおこると、部材が低温状態に戻った際に逆向きの応力が生ずる事になる。この現象は、糸のセルフスプリング”と呼ばれる効果はコールドスプリングと同様な物である。セルフスプリング”的な大きさは全応力の初期の大きさ、材料、使用温度、経過時間に依存する。高温状態に於ける膨張応力は時間と共に減少する傾向にあるが、高温から低温へ一サイクルの間に変化する膨張応力の代数上の差は、実質的には、同一のままに保たれる。応力範囲と呼ばれるこの代数上の差は、直角な焼性を有する配管系を設計する際の決定的要素である。

この“応力範囲”と呼ばれる概念は The M.N.Kellogg Company の Rosslein 及び Markl による “mid thirties” [6] の中で初めて紹介された。それは、簡約な大まかな構造理論を應用して三次元の配管系をはじめて解析した事に端を発した。理論上の熱応力に長手方向の内圧応力を加えたものを、クリープや降伏に対して安全な応力植内に約めようすると、配管系設計は非常に大きな焼性を見込まねばならなくなることが判明した。しかも rule of thumb methods によって系を設計すると理論上計算によれば過剰応力状態となる事も判明したが、その設計は、多年にわたり良好な結果を収めた。“極限設計法 (limit design)”といふ名の構造工学上で非常なる發展を続け、その概念は数々の複雑な配管系の設計にあたって良好な成果をあげた。

“応力範囲概念”を広く受け入れることは、直観に基づいている。最初、熱応力解析は、卓上計算機によってなされた。従って比較的込み入った問題を解くには大層な時間と労力が要せられた。系の弾性-塑性或は塑性解析を行う事は実用上不可能であった。近年のデジタル計算機技術は様相を一変させ、現在では、或る特定の形状の配管に対しては“応力範囲”的概念を評価して、か

なり確かな結果を得る事ができる。ここで付した制限は、正確な弾性計算はまつすぐな配管及びかなり長い接線を有する施設部を含む系についてのみ可能であるという事である。T字型接合部の応力の理論解析は未だなされていないが近い将来可能となるであろう。

### 3.2 局所的塑性歪み及びフリーフ集中

この問題は、1955年 E.L. Robinson による論文〔7〕の中で初めて明らかにされたものであるが、この論文の発表に随いて、修正された U.S.A.S - B31.1.O 及び U.S.A.S - B-31.3 には、問題が起り得る状況についての一般的警告が含まれている。この警告を要約すると次の通りである。

「よく用いられている配管の塑性解析方法は、全て配管系全体の弾性変動を仮定しているようである。この仮定は、系の塑性歪みが多数の個所、かなり広い領域で起る場合には十分に正確なものであるが、配管の微小部みだけが塑性歪み領域に入つたり或はクリープ領域に於る配管の変動に於て、歪み分布が著しくばらつきを有するといった不均一系において実際の歪み分布を反映させる事はできない。上記の不均一系では弱い部分、高応力部分は強固部分、低応力部分が弹性内に留まるために歪み集中を起こしやすい。」

不均一性は、次の場合に生ずる。

- a) 小パイプが、より大きなパイプ、或はより強いパイプ或は比較的大きな応力を有する小さな系に平行にとりつけられている場合
- b) サイズ又は断面が局部的に減少した時、或は局部的に弱い材料を用いている場合
- c) 一様なサイズの系の場合 大多数の配管が直線的に走るが、一部分だけが、このラインから離れて膨脹歪みの大部分をひきうけてしまっているような場合

特に、比較的低延性材料が使われているような場合には、このような形状を探る事はできればさけるべきである。避け得ない場合には cold spring をうまく用いて、負担を軽減すべきである。」

ここに含まれている問題もまた、配管系の弾性-塑性、或は塑性解析である。

さらに、クリープが要素として含まれる場合には、時間要素も考慮ねばならぬ。Robinson は、特定の材料に対するクリープの法則性を考え、いくつかの単純な形状（即ち角隅を有する单一平面上の系）について、歪集中を調べた（7）。一次配管系のような過酷な使用状況の配管系では、Robinson の解析は現実に設計された系に拡張せねばならない。これは、著しく困難な事であるが、Robinson がその著の最後に述べているように、これまでのクリープ集中を無視した系は、概して不適当ではないが、通常は十分といわれるものであつても常にどうであるとは限らないし、高温配管の正確な塑性解析の必要性は、将来無視されるとどうか増大するに違いないように思われる。

歪集中の正確な評価の重要性は、高温に長く曝され、延性的低下をさけねばならぬ材料の場合には、特に重要である。この点は Type 34Cr14 オーステンナイト鋼では特に確かである。

### 3.3 サーマルラチエット

この破損形式による解析には、一様な熱流束の圧力容器については Miller によってなされた（8）本質的にその効果とは次の通りである。圧力容器室に対して、静圧による応力の上に、さらに熱膨脹による応力が加わると、圧力容器は 1 サイクル毎に増大を繰返す事になる。Miller の解析は、圧力容器に限定されたものであつたが、どのような増大は、エルボー部が圧力による応力の他に、熱によって大きな曲げメント、ねじりメントを受けざるを得ない配管系の場合にも起こり得る事を彼は暗示している。高温に長時間曝されて、延性的減少を来たす材料の場合にはサーマルラチエットは破損の原因になり得る。

### 3.4 弾性・非弾性坐屈

軸方向及び曲げ方向両者の圧縮荷重を受ける薄肉シリンダーの破損は、次の原因によつておこり得る。

a) 容器全体の不安定性 即ち 円筒坐屈

b) 容器の局部的坐屈

大口径配管系では、通常 サポート形式で a) 形態の坐屈を防ぐ薄肉シェル

の場合には b) 形態の破損の可能性がある。後者の形態はシリンダーの諸性質により、形状の上で、周期的に、或は、ゆっくりと、しわがでさたり ふくらみが生じたりするという点が特徴である。

軸方向の圧縮荷重下での薄肉シエルの弾性座屈問題の理論解はよく知られて いる (1) 材料の比例限を越えなければ

$$S_b = \frac{E}{\sqrt{3}} \frac{1}{\sqrt{1-\nu^2}} \frac{t}{R} \quad (1)$$

ここで  $S_b$  : 不安定性を起こす単位あたりの応力

$E$  : 弾性係数

$\nu$  : Poisson 比

$t$  : シエルの厚さ

$R$  : シエルの平均半径

鋼に対して  $\nu = 0.3$  とすれば

$$S_b = 0.60 E t / R \quad (2)$$

或は

$$\frac{t}{R} = \frac{S_b}{0.6 E}$$

(1) 式は、対称軸上に荷重を受ける理想完全弾性シリンダーを仮定して導いたものである。 $S_b$  の値は、材料の比例限以下であるが  $t/R$  の値によっても制限を受ける。1200°F (649°C)での S-8 に対しては、比例限は約 18800 Psi ( $13.2 \text{ kN/mm}^2$ )  $E$  は  $21.3 \times 10^6 \text{ psi}$  ( $1.50 \times 10^4 \text{ kg/mm}^2$ ) であるから

$$t/R = \frac{18800}{0.6 \times 21.3 \times 10^6} = 0.00313$$

内径 36" (914.5mm) × 壁厚  $5/16"$  のパイプに対しては

$$t = 0.00313 \times \frac{36.3/25}{2} = 0.055 \text{ (140 mm)}$$

従つて、演算の安全係数として4を用いても、このパイプは弾性座屈によってはこわれない事になる。

比例限という事を無視すると、理論上の座屈応力は、このパイプについては

$$S_b = \frac{0.6 \times 21.3 \times 10^6 \times 0.3125 \times \pi}{36.3125} = 220,000 \text{ psi}$$

(155 kg/mm<sup>2</sup>)

Wilson 及び Newmark によってなされた試験では(10)理論上の座屈応力には到らず、座屈は常にずっと低い応力で起つた。シリンダー中の不完全さが、破損の前には現われたので、この結果は驚くにはあたらぬ。この理論値と実験値の大きなくい違いは、他の研究者によつても得られた。Wilson 及び Newmark は軸方向及び曲げ方向の圧縮応力を受ける直立シリンダに対する安全座屈応力として次の値を示している。

$$S_b = 1600000 \text{ t/R (psi)} \quad (3)$$

(1.125 \times 10^3 \times t/R \text{ t/R kg/cm}^2)

実験は室温で行なわれ(11)式は弾性率を含んでいるので(3)式には  $E_t/E_c$  をかけるのが論理的であろう。ここで

$E_c$  : 室温における弾性係数

$E_t$  : 使用温度における弾性係数

そうすると

$$S_b = 1600000 \frac{t}{R} \frac{E_t}{E_c} \text{ (psi)}$$

(1.125 \times 10^3 \times t/R \frac{E\_t}{E\_c} \text{ t/R kg/cm}^2)

パイプに対しては従来の考え方によれば  $E_c = 29.0 \times 10^6 \text{ psi}$   $E_t = 21.3 \times 10^6 \text{ psi}$   $R = 18.16''$   $t = 0.3125$  であり

$$S_b = 1600000 \times \frac{0.3125}{18.16} \times \frac{21.3}{29.0} = 20200 \text{ psi}$$

(14.2 kg/mm<sup>2</sup>)

上述の分析は、明らかに粗雑なものであり、直管にのみ適用しうるものである。エルボー部・T形接合部の座屈は無視されている。しかしながら、特定の条件

下で耐え得る主要な応力の程度を示す事だけはできる。だがそこでのオーナーの問題は配管系の“応力範囲”的概念と塑性屈屈の間に根本的矛盾がないかどうかという事である。熱膨張荷重の性質は、本当に不安定性をもたらさぬようなものであろうか。オーナーの問題は、熱膨張による不安定性の性質とは一体何であり接続荷重による不安定性と、どう違うかという事である。

これらの問題の研究にあたつては、一層正確な方法が用いられねばならぬまい。弾性屈屈に対しては Flügge がうまく扱っている〔11〕。塑性屈屈については Batterman の方法が研究に値する〔12〕。

#### 4 Operating condition

配管系及び隔壁ペローについての予備設計仕様は ref (1)～(4) に示すように進歩した原子炉システムから示されており表 1 にある通りである。

#### 5 The Rigid System

固定配管系の応力解析の方法は過去30年に進歩をとげた。USAS-Code for Pressure Piping B 31 (現在の各章及び発案されている各章) に組み込まれている設計規則は 1954 年以前に発達したものである。これらの規則を採用するにあたつての根拠は ref (13) に与えられている。

このような諸規則による配管系の設計は、動力用及び精製用配管系の分野で満足しうる結果を納め、損傷事故もこれ迄非常に少ない。しかしながら、これらの規則が最新の破損と材料特性に関する理論を反映していない事は最近一層明らかなものとなつてきている。各要素の応力を計算する式は正しいものではないし、或はどうでなくとも不完全なものである。このような理由のために、非常に過酷な状況下の配管系の設計にあたつて、これらの諸規則を用いることには、設計者の側から不本意なものであるとする声が高まっている。

この章では、これら諸規則を簡潔にまとめ、その欠点を指摘し、より改善された解析方法を提示し、改良法に於る問題点をも併せて調べてみる事にする。最終的には、満足しうる設計が可能である事を示すために、現在の諸規則に従つて、直ちに研究がなされるであろう。

## 5.1 構造の設計諸規則

### 5.1.1 解析

現在の規則は、伸縮性の解析が必要な際の決定基準を与えており、簡潔に述べれば、近似的ないし包括的解析法が許されている。包括的な解析法として可能なものとしては、解析的な、模型試験及び図表解法が含まれている。包括的解析法を用いられる場合には、直管以下の要素には、応力集中係数（stress intensity factor）を用いざるを得ない。そのような要素には、付加的機械性を用いる場合もある。

### 5.1.2 内圧

直径と厚さの比 ( $D_o/t$ ) がより大きいか直線状金属パイプの場合には、内圧下において、最小壁厚  $t_m$  は、機械的強度に対する許容性をも含めて式 (4) 或は式 (5) によって定められる厚さよりも薄くなってはならない。必要とあらば、腐食に対する許容量も  $t_m$  の値に加える。使用条件によって、腐食の程度が大きく異なる場合には、設計者は適当な許容度をこの条件に加える。

$$t_m = \frac{P D_o}{2 (S E + P_y)} + A \quad (4)$$

$$t_m = \frac{P d + 2 S E A + 2 y P A}{2 (S E + P_y - P)} \quad (5)$$

ここで、  
 $t_m$  : 必要最小壁厚 (inches)

$P$  : 設計内圧 (psi gauge)

$D_o$  : パイプの外径 (in)

$S E$  : 設計温度に於ける内圧及び継手効率による材料の許容応力 (psi)

$d$  : パイプの内径 (in)

$A$  : 付加厚 (inches)

(1) 機械的結合のために除去された部分を補うための付加厚  
(mechanical joint)

(2) パイプの必要な箇所に最小限度の機械的強度を与えるた

めの付加厚

$\gamma$ : 温度による係数

### 5.1.3 膨張応力

応力計算は、要素の最小断面部に基づき、局部応力分布を求めるにあたって公称寸法を用いてなされる。膨張応力  $S_E$  の計算は、室温に於ける弹性係数  $E_C$  に基づいてなされる。

膨張応力は式 (6) に従って計算される。

$$S_E = \sqrt{S_b^2 + 4 S_x^2} \quad (6)$$

ここで  $S_E$  : 膨張応力の計算値 (psi)

$S_b$  : 曲げ応力 (psi)

$$= \frac{\sqrt{(i M_{bp})^2 + (i M_{bt})^2}}{Z}$$

$S_x$  : ねじり応力  $= M_t / 2 Z$  (psi)

$M_{bp}$  : 構成要素の平面内曲げモーメント (in-lb)

$M_{bt}$  : 構成要素の平面に於する垂直方向曲げモーメント (in-lb)

$M_t$  : ねじりモーメント (in-lb)

$Z$  : パイプの断面係数 ( $in^3$ )

$i$  : 応力集中係数 (stress intensity factor)

### 5.1.4 痕跡荷重及び熱膨張による応力計算値の制限値

#### a 内圧

内圧による応力計算値は、「許容応力表 (Allowable stress Tables)」に与えられている許容応力をこえてはならない。

#### b 膨張応力に対する許容応力幅

膨張応力  $S_E$  は、次式で与えられる許容応力範囲をこえてはならない。

$$S_A = f (1.25 S_c + 0.25 S_h) \quad (7)$$

ここで  $S_c$ ：継手効率Eとして1.0を用いた場合の「許容応力表」より得られた最低温度における母材の許容応力

$S_h$ ：継手効率Eとして1.0を用いた場合の「許容応力表」より得られた最高温度における母材の許容応力

ナ：パイプの寿命期間中に於ける温度サイクルの数Nに対するサイクルによる応力範囲減少係数 ( $N=2000$  に対して  $f=1$ )

### c 附加的応力

圧力、重量、及び他の持続荷重による軸方向応力の和は、 $S_h$ をこえてはならない。これらによる応力の和が  $S_h$  より小さい場合には、 $S_h$  とこの和の差は、 $S_A$  を定めるにあたっての(7)式中の  $0.25 S_h$  の項に加えても良い。云いかれば、系の全応力は、次の値をこえないようにする。

$$S_{AC} = 1.25 (S_c + S_h) \quad (8)$$

## 5.2 現行設計規則に対する批判

### 5.2.1 解析

過酷な状況下におかれる配管系の設計においては、焼性解析が常に必要となる。今日の計算機プログラムでは、適当な解析法は保証の限りではない。そのような配管系に対しては、多数の弾性的或は剛体的アンカー、中间レストレント、閉ループを扱うような計算プログラムが必要である。さらにハンガーサポート等によるあらゆるレストレントも解析中に含めねばならない。

### 5.2.2 肉厚

比較的低圧下における薄肉配管については設計コードの式((4)(5)式)は適当なものであろう。

### 5.2.3 応張応力

応張応力の計算にあたっての批判点は2つあり。(1)  $S_E$ の計算及び(2)  $\alpha$ の値についてである。(1)(2)は互いに関係を有するので、まず $\alpha$ の意味を説明するのが妥当であろう。

応力集中係数とは、要素(即ち、エルボー部T字形部 レディーサーフィなど)中で疲れ破壊を引き起こす曲げモメントの比として定義される(<sup>13</sup>)。これは理論上の応力集中係数ではない。実際、エルボー部では、理論上の応力集中係数は、疲れ強度減少係数の約2倍である。

理論上の応力集中係数と疲れ強度減少係数との間の相違は(<sup>13</sup>)において $\alpha$ を決めるに際し基本系に用いられる直管は通常の市場にあるつき合せ溶接を含む<sup>\*3</sup>ミルサーフェスパイプであるという事実より部分的には説明できる。つき合せ溶接部を有しないパイアの試験の場合には、溶接部は約八分の一の応力集中係数を有すると決められた理論上の結果及び疲れの結果を一致させるために必要な約1.4という係数は多分表面あらさによるものであろう。

式(4)により得られる曲げ応力  $S_b$  を計算する式から判断すると、平面内曲げに対しては、曲げの内表面または外表面における軸方向応力が最大応力であるように思われる。しかし、実際には、最大応力は理論的にも経験的にも位相が  $90^\circ$  異って、円周応力である。さらに、面外の曲げについても、やはり円周応力であり、面内応力が最大となる点とは異った点で最大となる。従って、 $S_b$  の計算法は理論的に不適当であるが、安全側にあるとはいえる。

$S_E$  の計算については、既に、設計者によつては、曲げ及びねじり応力のみを考慮し、軸方向荷重および垂直剪断の影響を無視している点を批判している。

この点については Code 依頼者側でも認めるところであるが、その効果はさして大きくなく無視うると言えられてきた。過酷な状況下での配管系では、応力の計算にあたっては少くともその相対的大きさを評価する程度にはその効果をも含めて考えた方が妥当であろう。

#### 5.2.4 応力計算値の制限値

現行設計法の主要な批判点は許容応力範囲  $SA$  の値が材料の静的性質である  $Sc$  及び  $S_u$  に基づいている点である。熱膨張による破壊は、それに対して疲れの問題である。従って  $SA$  は、材料の疲労の上で特性を反映せねばならない。

反対意見としては、過酷な状況下での配管系は、これらの応力限界に従って設計されてきたが、多年にわたって、ほとんど破壊事故をおこしていないとする点がある。この意見を支持する者は、材質、組立、検査の問題の方が甚るかに重大であると主張する。そのような人たちにとっては、現行規則は、正しい応力値は与えないけれども、計算された応力値などは単に配管系設計の指標にすぎず、実際に動いているものには問題がないのであるから、そのような事は大した事ではないと感じられるのである。より科学的であったとしても、まだ良好な技術経験が得られない規則によって設計するなどという事は仕事な事であると考えられるのである。

どちらの見方に対しても云うべき事はある、30年もの良好な設計、経験をするのは無茶な事である。しかしまた、工学メカニズムと材料科学の進歩を無視する事も賛成できない。妥協が用意されているのは明らかである。一次配管系は最低許容規準として、現行の設計規則を採用すべきである。そしてその設計はより改善された解析方法でチェックされるべきである。

#### 5.3 Nuclear Vessel Code-section III による解析

現行設計規則の要請に加えてなされる応力解析は、主として ASME Boiler and Pressure Vessel Code-section III - Nuclear Vessels (最新改訂版) [14] の第4章に従ってなされる、その方法は簡単に以下に示す。

##### 5.3.1 応力を決めるにあたっての基礎

配管系の各点に対応する応力は、非軸方向荷重下で得られた材料の載荷的性質にてらして破壊理論を用いて各点の応力状況を推定する。これらの

諸規則で用いられる破壊理論は、最大剪断応力説である。ある点に於る最大剪断応力は最大主応力と最小主応力の差の  $\frac{1}{2}$  倍に等しい。

### §3.2 応力解析に関する論題

#### a) 応力差さ

“組み合わせ応力の等価差さ”簡単に云えば“応力差さ”は最大剪断応力の2倍として定義される。いいかえれば、応力差さとは、与えられた点での代数上の最大主応力と代数上の最小主応力の差のことである。引張応力は正圧縮応力は負と考えられる。

#### b) 一次応力 (P)

垂直応力ないしは剪断応力は 内部及び外部の力及びモーメントの単純な平衡法則を満足させるのに要する印加荷重によって明らかになる。一次応力の根本的性質は、自己限定期である。熱応力は、一次応力としては分類しない。一次応力の例はパイプ及び配管系の内圧及び分布荷重による一様応力などである。

#### c) 二次応力 (Q)

構造物の隣接部分の拘束または自己拘束により生じた垂直応力ないしは剪断応力、二次応力の基本的性質は、自己制限的であるという事である。局部的降服及び小さなゆがみが生ずる事によって二次応力が緩和され、二次応力だけで破壊が生ずる事はない。二次応力の例は、脆状部の直円からはずれに由来する応力である。熱膨脹応力はこのカテゴリに含まれる。

#### d) ピーク応力 (F)

応力集中ないし(仮にあるとすれば)応力集中の効果を益めた上での局部的熱応力のために一次応力に二次応力を加えたものに付加される応力の増加。ピーク応力の基本的性質は、着しいゆがみの原因にはならないが、疲れによるクラック或は脆性破壊の原因になりうるという事である。ピーク応力の例は、枝状根部ないしノズル近辺での最大応力点である。

#### e) 热応力

パイプにおける温度の不均一分布或はパイプの終端間に於る自由熱膨張による圧縮のために生ずる自己平衡応力、許容応力を定めるために、二種

の熱応力、即ち、一般熱応力、局部熱応力が分類されている。

一般熱応力は、その生じている配管の変形に関係する。このタイプの応力が、材料の降伏応力の2倍をこえると、弹性解析は無意味になり、ひき渡く熱サイクルにより変形は増加する。従って、この種の応力は、二次応力( $Q$ )として分類される。一般熱応力の例は、印加熱膨張による、配管系にひきおこされる応力である。

局部熱応力は、熱膨張をほぼ完全に抑制する事に関係し、従つて問題となるような変形は生じない。そのような応力は、疲れの観点だけから考えられるものである。局部熱応力の例は、円筒壁面での半径方向の温度勾配による応力である。

### 5.3.3 応力強さの導出

設計の許容量に際しての要請の一つは、応力強さの計算値は、分類された許容限度を越えてはならない。それらの制限値は、応力のカテゴリー(一次応力( $P$ ) 二次応力( $Q$ ) ピーク応力( $F$ ) それそれについて、応力強さが算出されている)によって異っている。

配管系の各部極点で4つの応力要素(垂直応力として3種、剪断応力として3種)が計算される。応力値は、応力の型式に基づいて、主応力( $P$ ) 二次応力( $Q$ )、ピーク応力( $F$ ) の各カテゴリーに分類される。結果は、各カテゴリーについて、4要素の組み合わせとなる。主応力として最終的には応力差(即ち2つの主応力間の代数的差)が計算される。最大応力差が応力強さ $\sigma_s$ である。応力強さ $\sigma_s$ は以下の sect. 5.3.4 で与えられる制限値をこえてはならない。

### 5.3.4 基本的応力強さの制限値

満足されるべき4つの基本的応力強さの制限値は以下の通りである。

- 一次一般横応力強さは  $\sigma_h$  をこえてはならない。即ち  $\sigma_h \leq \sigma_{h_n}$  ( $\sigma_n$  は Nuclear code の  $\sigma_n$  と同じ)
- 一次一般横応力と一次曲げ応力を加えた応力強さは  $\sigma_{hs}$  をこえて

はならない。即ち  $P_a + P_b = P \leq 1.5 C_n$

c) 一次応力 ( $P$ ) と二次応力 ( $Q$ ) を加えた応力強さは  $30 \text{ ksi}$  をこえ  
てはならない。即ち  $P + Q \leq 30 \text{ ksi}$

d) 一次応力 ( $P$ ) 二次応力 ( $Q$ ) ピーク応力 ( $F$ ) をこえた応力強さは  
 $\text{ref} [14]$  の図 N-415 (B) に与えられている  $S_a$  をこえては  
ならない。その図は、安全運転サイクル数と  $S_a$  を結びつけるものであ  
る。

この順で述べた解析法は、 $\text{ref} [14]$  で与えられる解析法のダイジ  
エストである。詳細な解析については  $\text{ref} [14]$  をつぶさにおって  
いただきたい。

#### 5.4 Nuclear Vessel Code Analysis に対する批判

Nuclear Vessel Code の解析法に対する主要な批判点は“応力範囲”  
概念を否定している点である。この点は  $P + Q \leq 30 \text{ ksi}$  という要請の中に含まれ  
ている。極端な場合について考えると、即ち、材料として 316 ステンレ  
ス鋼を用いた  $1500^{\circ}\text{F}$  ( $810^{\circ}\text{C}$ ) 用配管系の設計を考えると、許容圧力と  
重さと熱膨張応力を加えたものは  $30 \text{ ksi}$ 、即ち  $3000 \text{ psi}$  におさえられる。  
 $(2.11 \text{ kg/mm}^2)$   
不可能ではないとしても、この応力値に系を設計するのは着しく困難である。  
しかしながら  $1500^{\circ}\text{F}$  ( $810^{\circ}\text{C}$ ) の系は“応力範囲概念”を用いて設計さ  
れ何年もの良好な運転を続けている。

この例外的事項は、そのコードの製作当局によても認められ、Sec III  
の規則はまず、炭素鋼及び低合金鋼の容器に対しては  $200^{\circ}\text{F}$  ( $372^{\circ}\text{C}$ ) 以  
下で運転するもの、高合金鋼の容器に対しては  $800^{\circ}\text{F}$  ( $427^{\circ}\text{C}$ ) 以下で運  
転するものに対してのみ適用される事となつた。これより高温で運転する容器  
に対しては、炭素鋼及び低合金鋼では  $1100^{\circ}\text{F}$  ( $593^{\circ}\text{C}$ ) まで高合金鋼  
に対しては  $1200^{\circ}\text{F}$  ( $649^{\circ}\text{C}$ ) までについては現在 ASME - Boiler  
and Pressure Vessel Code Case 1331-1 で評されている。  
この解説は  $P + Q \leq 30 \text{ ksi}$  or  $30 \text{ ksi}$  であれば良いとしている。ここで  $0 \text{ ksi}$   
 $\text{ksi}$  いずれが大きくとも良いのは、内部の金属の温度での  $100$  サイクルで  
の疲れ応力強さであり、それに対しては、線図が与えられている。

この解説は、明らかに“ストップ・ギャップ”(stop-gap)の提案であり、 $P+Q \leq 3\sigma_h$  or  $3\sigma_c$  を満足するかわりにクリープによる変形をも含めた塑性的基礎に基づき、構造的挙動を解析しても良い。“シェーク・ダウン”がおこり、また“シェークダウン”以前に起る変形が、予期した制限値の範囲内に留まれば、設計は許容される。このような点は全て弹性-塑性解析により厳密に“応力範囲概念”を検討する必要性を強調する事となる。

いずれの場合にも、 $P+Q$ に対する許容応力は、固定配管系の設計を未だ許すようであるが、現行諸規則によって必要とされる値以上の付加的慣性をつける必要があるであろう。 $1200^{\circ}\text{F}$  ( $649^{\circ}\text{C}$ ) の Type 316 に対しては  $\sigma_c = 12500 \text{ psi}$  ( $8.79 \text{ kg/mm}^2$ ) であり、従って、好ましい配管施設を与える許容応力は  $P+Q \leq 37500 \text{ psi}$  ( $26.35 \text{ kg/mm}^2$ ) となる。

### 5.5 可能性の研究

原子炉配管系で期待される最大応力を決定するために、ACI(1)(fig 1) 及び CE(2)(fig 2) による 2つの配管構成が解析された。解析甘于帶的なものであり、各ループの大きさ、被覆の支持点、被覆の温度差、配管系の概要から評価した。6つの配管ループについての解析結果は表2に与えてある。

表2にある解析は、USAS-B31.10-1967 に従ってなされたものである。この規則下での許容熱応力範囲は (7) 式より  $\sigma_c = 18750 \text{ psi}$  ( $13.1813 \text{ kg/mm}^2$ )  $\sigma_h = 6800 \text{ psi}$  ( $478 \text{ kg/mm}^2$ ) として

$$S_a = 1.25 (18750 + 0.25 \times 6800) = 25400 \text{ psi} (17.85 \text{ kg/mm}^2)$$

現行規則下では、両システムとも、適当なものである。現時点では、改良した解析法をためすために未だいかなる試みも行なわれてはいない。

## 6. The Non-Rigid System

配管系において、柔軟性のための配管ループのかわりに、ベローを用いると原子炉システムをよりコンパクトにより安価にする事ができる。コンパクトな配管系の経済性は、強力な  $\Delta P$  のノイズに対する遮蔽が必要な一次配管系では、特に評価に値する。この利点のために、一次ループにベロータイプの膨張詠手を適用する可能性を明らかにするために、予備的研究がなされた。

現時点では、USA - Code for pressure piping の中には、膨張ベローの設計を定める規則を有する章は一つもない。膨張ベローは、製作者側から、特定温差圧力下での特定数のサイクルに対しては、高く評価されている。製作者の中には、理論上計算と経験的手法とを併せ用いる者もいるし、また経験的手法にのみ依る者もある。現時点においては、いずれの場合も、ベロー設計は、商業秘密として扱われている。

膨張ベローの設計にあたり、利用しうる手法として、最近刊行されている唯一のものは、Atomics International (AI) によって開発されたのが唯一のものである。<sup>(16)</sup> 後述される理由の故に、この手法の正当性は、さらに検討の必要がある。

M. W. Kellogg Company は過去数年にわたりて、AIの手法に先立ちしかもアプローチの異なる、通常型ベローの解析方法を用いてきた。この方法によるベロー設計には、コンピューターのプログラムを使用する必要がある。

この章では、固定系に対する場合と同じように、現行設計手法 (AI 及び Kellogg) の概要を述べ、その欠点を指摘し、より改良した手法を暗示し、改良法における問題点を明らかにする事にする。最後に、固定系の場合と同様に、ベローを採用するにあたっての可能性の研究を示すことにする。

### 6.1 現行のベロー設計法

#### 6.1.1 解析

現行の設計法といつても、実用のために Kellogg と AI によって開発された解だけに限定されているが、他の解として適当なものもあるが、

詳細が明らかでないので、ここでは吟味できない。

Kellogg の解(15)は, Sulzman の業績(17)の延長である。IBM 7070 計算機によってプログラム化されたのは、ひずみエネルギー法である。補強リングがある場合とない場合について、通常型 (U-type) 膨張ベローに限定されたものである。圧力及び軸方向の変位 (ベローがオフセット型に用いられている場合、ないし角度回転がある場合は等価軸方向変位)とともに、ベロー要素の寸法が計算機にかけられる。圧力による軸方向応力、円周方向応力及び変位が打ちだされる。さらに、疲れ破壊規準がプログラムに組み込まれており、破壊に到るサイクル数が与えられる。

AI の解(16)は、Clark の業績(18)の修正であるが、Clark は closed form でトロイダル型のシエルの微分方程式を解いた解は、方程式の asymptotic integration により得られた。解を得るために、方程式の内のいくつかの項は無視しうると考えられた。膨張継手の形状によっては、そのような項も無視し得ぬ場合もあるので、Anderson は余議なく適当な補正係数を用いた。さらに、最終解は、線図(16)にまとめられますが、その線図は、さらなる近似を含んでいる。このような状況下では、もたらされる誤差の大きさを確かめるのは困難である。

#### 6.1.2 応力計算値の制限値

ベローの問題に対する Kellogg の解では、計算機の打出しとして、圧力による全軸方向荷重  $S_R$  及び圧力による軸方向変位により生ずる膜応力曲げ応力の総和が得られる。破壊に到るサイクル数は 次式で与えられる。

$$N_f = \left[ \frac{780000}{\rho S_R} \times \frac{S_c + S_h}{2S_c} \right]^5$$

(9)  
( $S_R \text{ t/mm}^2$  では  $780000 \approx 548$ )

ここで  $S_c$   $S_h$  は、5.1.4 章で定義したものであり、また

$S_k$  : 全応力範囲

$\beta$  : 応力集中係数 (stress intensity factor)

設計詳細 材料の性質、組立の改良が、材料の全疲れ要素が明らかであるという仮定を成り立たせる場合には  $\beta=1.0$

$N_f$  : 破壊に到るサイクル数、安全サイクル数としては、この値は  $\frac{1}{10}$  にする。

数々の応力に対して制限をさらに加えれば、全内圧応力は、補強されたベローの場合にも、補強されぬベローの場合にも、 $1.5 S_k$  をこえではならない。

AIの解は、線図形式で与えられており、応力計算に利用できる。応力計算値は、次の通りである。

$S_{mp}$  : 内圧による円周方向の膜応力

$S_{bp}$  : 内圧による軸方向の曲げ応力

$S_{bd}$  : 軸方向の変位による軸方向の曲げ応力

静的解析法の基礎として AIは“実効”(effective) 応力を定めてい る。補強されていない通常型ベローに対しては

$$S_d = S_{mp} + S_{bp} + 0.5 S_{bd}$$

補強された通常型ベローに対しては

$$S_d = S_{mp} + 0.25 S_{bp} + 0.5 S_{bd}$$

“実効”(effective) 応力  $S_d$  を用いれば  $N_f$  に対して  $S_d$  をプロットすると非常になめらかな  $S-N$  曲線が得られる。その曲線は  $2000$  サイクルの範囲内であるが、より多サイクルの場合には、(8) 式で与えられる。また、配管に対する全許容応力範囲は

$$S_{AC} = f (1.25 S_c + 1.25 S_h)$$

ここで  $f$  は、安全區間サイクル数に依存する応力減少係数である。

許容全応力に対する規準に加えて AIでは、補強された継手についても、補強されぬ継手についても、内圧による膜応力  $S_{mp}$  を  $S_h$  に抑えている。その他の制限は、補強されぬ継手の場合には  $S_{mp} + S_{bp}$  は、 $1.25$

より大きくなつてはならないという事である。補強されたベローについては、この制限は適用されないが、ref (16) はこの点あいまいである。

## 6.2 設計方法に対する批判

### 6.2.1 解析

*Kellogg* 及び AI の解析方法は基本的アプローチのしかたが異っているが、得られた結果は互いに数パーセント差の範囲内におさまるべきである。表3は補強された通常型 (convoluted) ベロー 及び補強されない通常型ベローについて、AI の計算応力値の MTIK の計算値からの差の割合を示したものである。

*Kellogg* 及び AI による計算応力値の差は、両計算法の差に固有なものとして片付けるには、特に補強されたベローに対しては、あまりに大きすぎるし、その説明が得られるべきである。補強されたベローについても、補強されないベローについても AI の解法は、ベローの公称厚さは常に一定であるとして扱っている。*Kellogg* の解法は、水力学を考慮して形を求められたベローの厚さの変化を測定した値から導いた逐次式にもとづいて2つのトロイダル部及び環状板の厚さをステップ状に変化させている。AI の解は最大内圧応力と最大たわみ応力は同一点に生ずるとして、それを代数的に加えているようである。*Kellogg* のプログラムは、各点に於る全円周方向応力は軸方向応力を計算し、最大応力を求めている。

補強されたベローでは、リングによる荷重負担部分を評価する方法が *Kellogg* と AI の解法では異なる。仮定が何であるかを知る事は、解の詳細なしくては明らかにはならないが、リングも圧力による荷重をにこうように思われる。*Kellogg* の解では圧力による荷重は、ベロー要素とリングの間でその量に応じて分配される。

### 6.2.2 応力計算値の制限値

*Kellogg* の方法も AI の方法も膨張ベローのサイクル寿命を評価

するには完全には適当なものではない。Kellogg の方法は 式(9)を用いており、一般には安全性を高く評価しすぎている。式(9)は、温度補正をほどこした炭素鋼製ミルサーフェスパイプによる *markel* の試験(21)を表わしているので、この点については高く信頼しない。膨張ベローは、より秀れた表面仕上げが得られる冷間圧延材を用いて組立てられるからである。AI の方法は実験的係数を用いて、ベローの破壊をきたす応力を、*USAS Ripping Code* の公式(8)を結びつけようとしている。この式を用いるにあたっては、パイプに対して用いられた場合と同様に異議がさしはさまれる。即ち、材料の疲れの性質が入っていないのである。

31 の補強された通常型 (convoluted) ベローの表にある値が、先進的ベロー製作業者により  $\sigma-N$  曲線上にプロットされた  $\sigma$  軸としては  $s_{ref}$  (16) により計算された AI の全応力 ( $s_d$ ではなく  $s = s_{mp} + s_{bp} + s_{bd}$ ) また  $N$  軸としては破壊サイクル数を用いる。このデータは一例を除けば "Nuclear Pressure Vessel Code - Sect. VII (14)" の基礎となつた。18-8ステンレス鋼の研磨した板のデータに対する Langer (19) の "最適曲線 (best fit curve)" に対して、20%のばらつき範囲内におさまっている。このデータは、少くとも補強されない型に対しては、通常型 (convoluted) ベローの設計にはより適当な基礎があるのでないかという事を示している。

### 6.3 Nuclear Vessel Code Sec III による解析

表3を吟味してみれば少くとも補強された継手の場合には、Kellogg の解と AI の解の両には、はなはだしい差がある。これらの解の詳細について特に、各々の解の固有の近似については、一層の解析が必要である。さらに AI 及び Kellogg の結果は、オミの解(20)とも比較する必要がある。差は、リングの計算法に対する相違に起因する可能性が最も大である。補強リングをつけ加えると、内圧が加わった際のベローの安定性が何れ (convolution) のつけ根で) 増ず一方、リングが存在する事により、ベローの撓性構造的挙動に様々な付加的事象がもたらされる補強リング=ベロー複

全体の挙動を評価をさらに詳細にわたって解析しようとすれば、実際の製造工程とそこに於ける公差に結びつけて考慮ねばならない。

継手の応力集中度 サイクル寿命の計算法は、5.3章で使われている方法と一致せねばならない。しかしながら、先と同じ複雑な手順が必要な訳ではない。ベローの内圧およびたわみによる応力は、軸対称であり、主応力もまた軸対称である。ねじり応力が結びついた場合には、それはや主応力とはならない。しかしながら、Kelloggでは、膨張ベローに於てねじりを無視している。しかし適当に設計すれば、こうする事も困難ではない。この理由のために、5.3章の方法で応力集中を計算するのは、さして困難ではない。

#### 6.4 Nuclear Vessel Code Analysis に対する批判

Nuclear Vessel Code の解析について 5.4章で固定系に対して与えられたのと同じ批判が、非固定系についても適用されるが、5.4章で与えた程度以上にではない。固定系については一次応力と二次応力の和 ( $P+Q$ ) を  $20,400 \text{ psi}$  ( $1434 \times 10^5 \text{ kg/mm}^2$ ) に制限してもさしたる困難を招く事もなかつたが、非固定系では現実のあらゆる目的に対して設計を不可能とするし、過去の経験とも大きな差異がある。膨張ベローは、塑性領域で運転するよう設計する事がほとんど日常的になっているし、また、 $100,000 \text{ psi}$  ( $70.3 \text{ kg/mm}^2$ ) のオーダーの全応力(歪み)も珍しい事ではない。従つて、実用的なベローを設計するためには弹性・塑性解析がなされねばならない。

#### 6.5 可能性の研究

ベロー設計における現実の適用にあたつての可能性は、5.3章、5.4章に示された課題の解決にある。即ち、弹性の場合には Kellogg の解と AI の解の一一致をはかり、弹性・塑性解析を開発する事にある訳である。このような課題が解決され、AIの設計手法がさして誤っていないとすれば (16) に示される規則によりベローを設計するのが妥当であろう。

固定ないし非固定配管系の設計仕様は、表にあげられている。この仕様に基づいて商業ベースで可能な形状の 30-inch (762mm) 及び 36-inch (915mm) の膨張ベロー端手を [16] に概説されている設計手法に合わせて解析してみた。送んだ材料はステンレス鋼 Type 316 であり、いずれの場合にも選んだ通常型ベローは、リングによる補強が必要であった。結果は表々に示してある。

上述したように、表々にかけたベローは、ref [16] に概説された手法に従って設計されたものであり、設計手法の基礎を与えるより厳密な解析の研究がなされるまでの予備的な選択としてのみ考えうるものである。

予備設計には、リングで補強した通常型ベローを用いたがトロイダル型ベローも使い得たかもしれない。通常型ベローを選んだのは、それが主要な膨張端手製造者によって市場に出されているという商業上の利用可能性に基づいてのことである。構造材としてより有効であり、より高度の信頼性のある特別な形状のベロー（例えばトロイダル型）の利用可能性を十分に探るために、将来は、ベロー製造者側との接触も考えねばならない。

ベローの設計は、理想化した応力解析だけの観点から考えられてきた。しかしながら、そのような設計の可能性に影響ある要素として、現実的なものも考えられる。どのようなベローでも、水平状態で用いれば、内部液体の排出の問題が生ずる。トロイダル型のベローでは水平にして用いても直にして用いても、その問題を引き起こす。周辺温度が変化すると、ベロー自体の中で応力分布は著しく変化する可能性がある。ベローの金属の温度を下げるためにシールドを用い得るしまた現に用いられてきた。ここでまた、実質的な温度変化を定めねばならない。ベローの設計に関しては、これら全ての点が考慮されねばならない。

## < APPENDIX > (訳者註)

### \*<sub>1</sub> 通常型ベロー (convoluted bellow)

ふつうのタイプのベローで、密接部を有さず Ushape のように絞り出しにより作られたベローと考えられる。

### \*<sub>2</sub> ロイダル型ベロー (toroidal bellow)

断面形状がU型を有するようす密接法により作られたベローと考えられる。

### \*<sub>3</sub> ミルサーフェスピープ (mill-surface pipe)

管の表面が、凹凸を有するような、表面仕上げの荒いパイプの事であると考えられる。

J. T. McKEON

Table 1  
Tentative design specifications. Primary piping system.

Alternate pump arrangements	Pump suction			Pump discharge		
	Pipe size [in.]	T [ $^{\circ}$ F]	P [psig]	Pipe size [in.]	T [ $^{\circ}$ F]	P [psig]
1. <i>Hol pump:</i> Reactor effluent to pump	36	1200	5	30	1200	100
2. <i>Cold pump:</i> Heat exchanger effluent to pump	36	950	40	30	950	100

Table 2

Loop No.	Design study	Loop description	Line size O.D. [in.]	Wall thickness [in.]	Temperature [ $^{\circ}$ F]	Pressure [psi]	Maximal thermal stress [psi]
1	CE	reactor to pump	36.0	0.375	1200	5	18 187
2	CE	pump to exchanger	30.0	0.375	1200	100	20 786
3	CE	exchanger to reactor	30.0	0.375	850	100	19 214
4	AC	reactor to exchanger	30.0	0.375	1200	40	6 507
5	AC	exchanger to pump	36.0	0.375	950	40	6 284
6	AC	pump to reactor	30.0	0.375	950	100	12 400

Table 3

Joint size	Number of bellows analyzed	Reinforced (R) Unreinforced (U)	Percentage deviation
4"	12	U	-11.3 to -4.8%
6"	7	U	-11.1 to +8.3%
8"	6	U	-7.8 to +3.2%
20"	6	U	+9.9 to +22.9%
4"	5	R	+37.7 to +82.5%
6"	3	R	+22.3 to +44.6%
8"	2	R	+27.0%
12"	1	R	-5.1%
20"	5	R	-11.8 to -17.5%

Table 4  
Bellows expansion joint data  
Ring reinforced convoluted bellows. material: AISI type 316,  
Metal wall thickness: 0.054 inch. Convolution pitch: 2.5 inches.

Bellows size [in.]	Tempera-ture [ $^{\circ}$ F]	Pressure [psig]	Convolution O.D. [in.]	No. of Plies	Number of convolutions required for expansion of 10 feet pipe from 60 $^{\circ}$ to 1200 $^{\circ}$ F
36	1200	5	42	1	15
36	950	40	42	1	10
30	1200	100	35 15/16	2	9
30	950	100	35 15/16	1	8

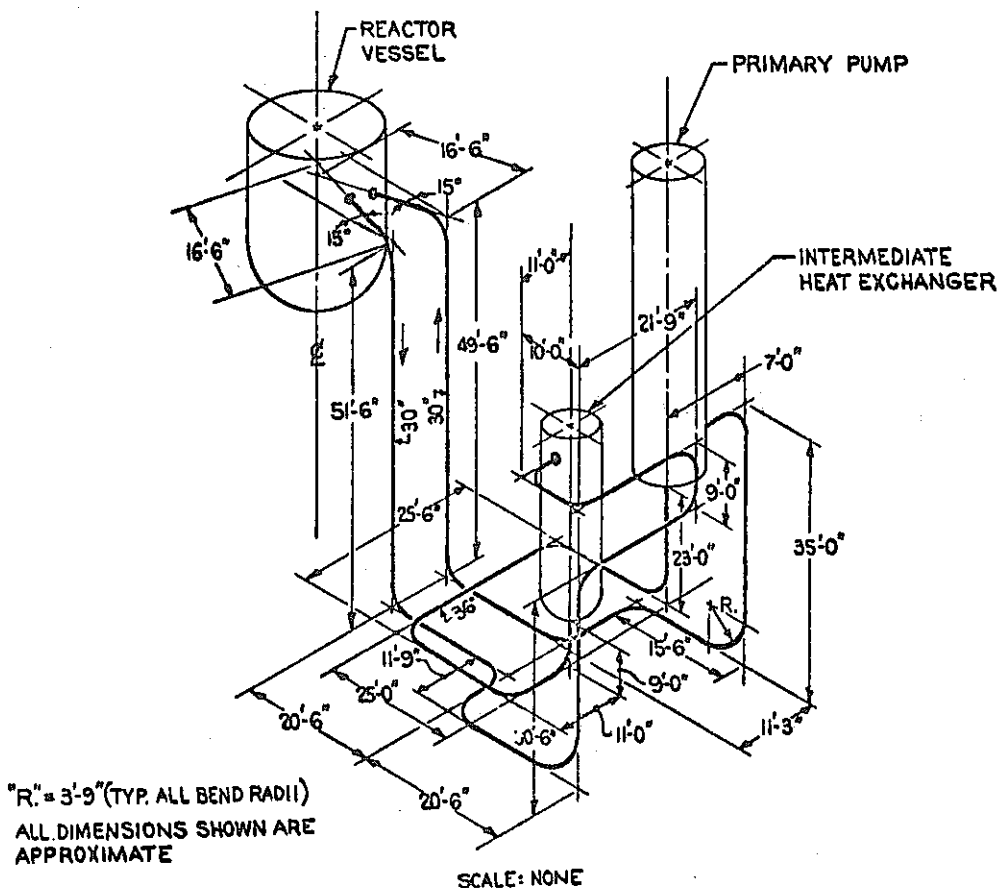


Fig. 1. AEC-primary piping analysis design study by: A-C.

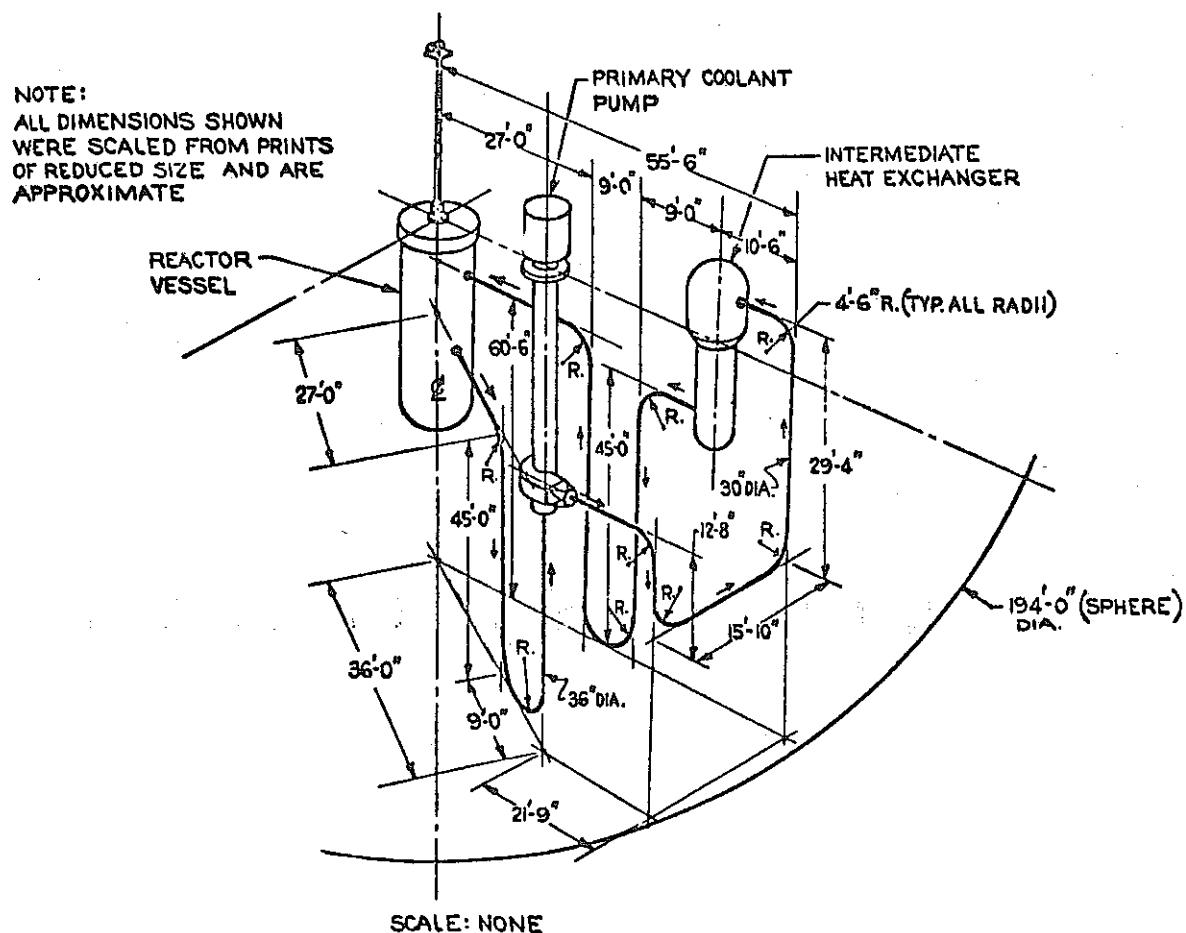


Fig. 2. AEC primary piping analysis design study by: CE.

## PRIMARY PIPING FLEXIBILITY ANALYSIS

### REFERENCES

- [1] Allis-Chalmers, Large Fast Reactor Study, U.S. A.E.C. Contract AT(11-1)-1316.
- [2] Combustion Engineering, Inc., Liquid Metal Fast Breeder Reactor Design Study, Vol. I and II, U.S. A.E.C. Contract AT(11-1)-1317.
- [3] General Electric, Liquid Metal Fast Breeder Reactor Design Study, Vol. I and II, U.S. A.E.C. Contract AT(04-3)-189.
- [4] Westinghouse Electric Corporation, Liquid Metal Fast Breeder Reactor Design Study, U.S. A.E.C. Contract AT(30-1)-3251.
- [5] J.J. Murphy et al., Fabricated Pressure Piping as related to Nuclear Applications, Paper 57-NESC-103, Second Nuclear Engineering and Science Applications, March (1957).
- [6] D.B. Rossheim and A.R.C. Markl, Significance of and suggested limits for the stress in pipe lines due to the combined effects of pressure and temperature, Trans. ASME (1940).
- [7] E.L. Robinson, Steam-piping design to minimize creep concentrations, Trans. ASME (1955).
- [8] D.R. Miller, Thermal-stress ratchet mechanism in pressure vessels, J. Basic Eng. 81 (1959) 190.
- [9] J. Presscott, Applied Elasticity (Dover Publications, 1946).
- [10] W.M. Wilson and N.A. Newmark, The strength of thin cylindrical shells as columns, Bulletin No. 225, Engineering Experiment Station, University of Illinois.
- [11] W. Flügge, Stresses in Shells (Springer Verlag, Berlin, 1962).
- [12] S.C. Batterman, Plastic buckling of axially compressed cylindrical shells, AIAA Journal, (February, 1965).
- [13] A.R.C. Markl, Piping-flexibility analysis, Trans. ASME (1955).
- [14] ASME Boiler and Pressure Vessel Code - Section III - Nuclear Vessels (1965).
- [15] A. Laupa and N.A. Wed, Analysis of U-shaped Expansion Joints, J. Appl. Mech. (1962).
- [16] W.F. Anderson, Analysis of Stresses in Bellows, Part I, Design Criteria and Test Results, and Part II, Mathematical, AEC Research and Development Report NAA-SR-4527 (1964-1965).
- [17] F. Saltzmann, Ueber die Nachgiebigkeit von Wellrohrexpanzionen, Schweizerische Bauzeitung 127 (1946) 127.
- [18] R.A. Clark, On the theory of thin elastic toroidal shells, J. Math. Phys. 28-29 (1950) 146.
- [19] B.F. Langer, Design of pressure vessels for low cycle fatigue, Trans. ASME (1962).
- [20] W.K. Sepetoski et al., A digital computer program for the general axially symmetric thin shell problem, Trans. ASME (1962).
- [21] A.R.C. Markl, Fatigue tests of piping components, Trans. ASME (1952).

## LMFBR COMPONENTS III

### : PIPING AND VESSELS

#### I. LMFBRの容器及び配管用材料について

#### SH Bush (PNL)

- 未だデータが不足しており、予期せぬ破損の恐れもあるので、材料の選択は、さしあたって、かなり限られた中から行わざるを得ない。規準は、表1にある通りである。
- 表1によれば、使用材料は限られたものとなり、温度、時間、種々の荷重といった点から、ASME Code Sec IIIによると、高張力フェライト系合金(2Cr-1Mo (A-542スなど) オーステナイト合金 高ニッケル合金 Unicore-600など)に限られる。中性子照射量の点から圧力容器として、フェライト系合金は使用不可能、費用の点から、容器・配管用として高ニッケル合金は使用困難、従って304合金か316合金が最適であろう。
- 配管系の場合には、A542スの様なフェライト系合金が経験的にコスト的にも技術的にも好ましいようであるが、質量移行とか 長期間での脆化といった未知要素を含み、ニオブによる炭素の固定化、合金中の炭素含有量を極めて小さくするという方法も、未だデータが不足しており、一次系ループには使用できない。A-542スにオーステナイト系合金を肉盛溶接するのも、小さなサイズの配管系では経済的に困難である。従って配管系に対しては、オースティナイト系ステンレス鋼304か316が選択可能。
- 304, 316 低炭素材を用いても、未だの点がある。運転温度では合金が脱敏化されるので、絶縁に関する選択、及び被覆に対して注意を払わねばならない。脱敏化された合金とナトリウムの系での質量移行についてより多くデータが必要である。高温に維持される場合には、又相成はX個の形成による長期間での脆化は問題にならないが、照射脆化と熱脆化が組み合わさった影響についてのデータ

タは限られている。

最後に、照射によるスエリングは、容器壁では向覆にならないが、中性子束時間、温度、熱サイクルとの関係に関する情報は乏しい。

### 表 1 Logic Chart

— LMFBR の容器・配管用の材料の選択（主たるもの）

#### A. 考慮となるパラメータ

(T) 温度 ( $250 - 1150^{\circ}\text{F}$ ) ( $400 - 620^{\circ}\text{C}$ )

(t) 時間 20-40年

(L) 荷重 热的・静的・動的

( $\phi$ ) 容器の中性子線量  $> 10^{20} \text{n/cm}^2$

(E) 壁材 ナトリウム、ヘリウム、窒素

(C) 素のコンパティビリティ 化学的、寸法上の

#### B. 選択要素

##### パラメータより

クリープ (T, t, L,  $\phi$ , E) 病れ (T, t, L, E, C)

クリープ = 病れ相互作用 低サイクル (熱的) —

高サイクル (振動) —

脆化 (T, t,  $\phi$ , E) 照射脆化、熱的脆化 —

質量移行 (T, t, E,  $\phi$ ) 材料による

寸法変化 ( $\phi$ , T, t) 材料による

##### パラメータによらないもの

組立て能力

検査能力 (初期及び継続的)

コスト

#### C. 可能性のある材料

低合金フェライト系材料 (ニオニCr - 1Moなど)

オーステナイト系合金(304, 316, 316L)

高ニッケル合金(インコネル-600など)

D. 利点と欠点(主要欠点ないし主要不明的)

既定要素

1) スチ Cr-1Mo (炭素を固定したもの ないし低炭素のもの)

配管ないし保護密着のみ

利点    コスト

利用しやすさ

欠点    質量移行問題

長期でのコンパティビリティ

組立てやすさ

使用実績

高温での機械的特性

2) 304或は316

密着及び配管用

利点    利用しやすさ

欠点    長期での脆化    α相    β相

組立てやすさ

銳敏化

使用実績

熱波孔

高温における機械的特性

照射スウェーリング

Naとのコンパティビリティ

照射脆化に対して比較的強い事

3) インコネル-600

密着及び配管用

利点    高温における特性

欠点    コスト

検査能力

## 2. 各種のナトリウム冷却高速炉要素の設計規準

Richard Sember  
(UNC)

- 従来の水冷却の原子炉システムとは異なる特別の配慮が必要となるLMFBRシステムの特徴は以下の通りである。

- (1) 液体ナトリウム冷却機
- (2) 高運転温度
- (3) 過酷な周期的運転条件のもとでの30年の耐用年数

これらの設計にあたっての考慮点は、少々両立しえない。耐用年数と高温との条件下では、許容応力の値は減少し、必要壁厚を大とせねばならないが、設計が温度勾配、熱勾配によって制限されるという点からは、断面の厚さが増加するという事は欠点である。

この論文は、ASME Boiler and Pressure Vessel Code の Sec. III 及び USA Standard Code for Pressure Piping USAS B 31.1 の規準を拡張して、LMFBR の一次系要素に対する規準を提案している。様々な応力のカテゴリーは、持続的及び過渡的カテゴリーに分割され、付随的応力には、より適当な制限値が与えられる。過渡的応力のカテゴリーには、ソディウムハンマー (sodium hammer) 地震荷重など短時間の荷重による持続的、瞬時応力要素の総和が含まれる。進行性の変形をさけ、クリープ及び疲れの組み合わされた効果を評価する規準も含まれている。これらの基準は図1にまとめられている。

過渡応力カテゴリーに対する設計応力強さの限界値は、過渡的荷重の持続時間は十分に短くて、クリープや弛緩による効果は著しくないという事を認めた上で出されている。この限界値 ( $S_{mt}$ ) は、瞬時降伏及び引張り強さの特性に基づいている。持続的荷重のカテゴリーについては、設計応力強さの値 ( $S_{ms}$ ) は、降伏強さ、引張り強さに加えて、破断強さ、クリープ特性にも基づいている。

応力 カテゴリー	持続一次			持続二次	
	一般膜応力	局部膜応力	曲げ応力	膨張応力	膜応力 + 曲げ応力
説明	断面の一次応力の平均値。 但し、不連続部及び応力集中部の効果は除く。 圧力及び機械的負荷によって生ずる。	任意の断面の応力の平均値、不連続部を考慮するが、応力集中部は除く。圧力及び機械的荷重によって生ずる。	中性断面からの距離に比例する一次応力成分。但し不連続部及び応力集中部を除く。圧力及び機械的荷重によつて生ずる。	"自由端変位"の拘束により生ずる応力。不連続部は考慮するが、局部的応力集中部は除く。	構造の連続性を満足させるために生ずる自己平衡的応力。構造の不連続部に発生する、圧力、機械的荷重熱膨張差によって生ずる、局部的応力集中部は除く。
記号	$P_{ms}$	$PLS$	$P_{bs}$	$P_{es}$	$Q_s$
応力カテゴリー	正常運転状態及び非正常運転状態	正常運転状態及び非正常運転状態	弾性解分析	弾性解分析	弾性解分析
強度	$S_{ms}$	$SS_{ms}$	$f(S_{ms}RLS)$	$3S_{ms}$	$3S_{ms}$
許容強度	$P_{ms}$	$PLS$	$PLS+P_{bs}$	$P_{es}$	$P_{es}+P_{bs}+P_{es}+Q_s$
損傷状態					

### 定義

○ 許容強度

CL 下限定限による崩壊荷重を示す。

□ 計算値

PL 塑性不安定化荷重を示す。

— 正常運転状態及び非正常運転状態に対し設計して設計値を用いる。

SL 橋梁上のシェークダウン荷重を示す。

— 正常運転状態及び非正常運転状態に対し規定される壁載荷重を用いる。

— 緊急状態または損傷状態における運転荷重及び実際の機械的荷重を用いる。

他の記号は USAS B31.7 Nuclear Power Piping の言葉に同じ

— 損傷値の内大きい方を用いる。

(訳者註: 本図中に  $S_{mt}$  とあるのは、原典カプリントミスで実際は  $S_{mt}$  であると思われる。

図1 応力カテゴリー及び応力強さの関係

過 渡 一 次		過 渡 二 次		ピーク応力
一般膜応力	局部膜応力	曲げ応力	膨張応力	膜応力 + 曲げ応力
断面の一次応力中の平均値。 不連続部及び応力集中部の効果は除く。 圧力及び機械的荷重によって生じ、 ウムハンマ一および地表の慣性効果を含む。	任意の断面の応力の平均値。 不連続部は考へるが応力集中部は除く。圧力及び 圧力及び機械的荷重によって生じ、 ソディウムハンマ一及び地表による効果を含む。	中実断面からの距離に比例する一次応力が分担し不連続部及び応力集中部は除く。圧力及び機械的荷重によつて土シソディウムハンマー及び地表による効果を含む。	自由端変位の拘束及び地表による固定点の運動の結果生ずる応力。 不連続部は考へるが、局部的応力集中部は除く。	構造の連続性を満足させるために生ずる自己平衡的応力。構造的不連続部に発生する。圧力、機械的荷重、熱膨脹差によって生ずる。局部的応力集中部は除く。 1. 応力集中により一次応力或は二次応力に加えられる増加分(切欠き) 2. 削りの原因とはなるが、波形はさださないような熱応力。
$P_{mt}$	$PL_t$	$P_{bt}$	$P_{et}$	$Q_t$
			- 評価不要	- 評価不要
			- 評価不要	- 評価不要
				- 評価不要

3. LMFBRに関するCodeについて、W.E. Cooper, D.F. Londens.  
(Teledyne)

ASMEのCodeの1971年版は、全ての金属製構成要素(容器、配管、ボンブ、バルブ)及びコンクリート容器を廻して完全なものになるであろうという予想が現在なされているが、現在利用可能な容器及び配管に対する規則は、次にあげるものである。

1. Section III, Nuclear Vessels, of the ASME Boiler and Pressure Vessel Code, 1968 Edition with Addenda.

2. ASA B31.7-1969, Code for Nuclear Power Piping.

○最近述べられているように、これらコードは、LMFBR要素の主たる関心事である温度より低い使用温度に制限されている。炭素鋼、低合金鋼でできている要素に対しては、 $700^{\circ}\text{F}$ が制限値であり、オーステナイト系ステンレス鋼及びニッケルベースの材料でできている要素に対しては $800^{\circ}\text{F}$ である。この制限から上げるために ASME Code Case 1331 及びそれに実質的に同じであるが、B31 Case 67 は、 $1200^{\circ}\text{F}$ の高温に対する規則を与えている。この論文の主要目的は $700$ ないし $800^{\circ}\text{F}$ をこえた温度に対する規則の状況について述べることである。

○軽水炉用の容器及び配管設計は従来のものとは異っており、安全性をより高めたものとなつてはいるが、クリープ領域については、瞬時引張試験 クリープ応力破断のデータは考へられているが、破断に到る時間及び許容クリープ波形は実際の使用上にあたつての必要条件と結びつけられてはならない。

○高温での設計・材料領域での研究が必要である。設計に関する小委員会の意見によれば、現在の Case 1331 には、異議がさしはさまれる。Case 1331 に対する主要な修正は、ASMEの高温設計に関するグループ (the ASME Subgroup on Elevated Temperature Design) によって現在準備されつつあり、これについての進歩に関する報告は、やがて口頭でなされるであろう。

#### 4. LMFBR 密封に対する溶接法 G.M. Slaughter, G.M. Goodwin (ORNL)

LMFBR のステンレス鋼の密封の製造は、製作者に独特の困難を圧迫を加えている。直径 20~50 ft, 高さ 40~50 ft というようにサイズが大きいので多量の溶接金属が必要である。溶接、組立に要する時間とともに、寸法コントロールも経済的にせねばならない。照射損傷、溶接部に対する熱の照射も従来よりはるかに大きくなる。従って、優れた安定性と理想的な特性を有する溶接が重要である。

LMFBR の組立に最も適当な溶接法はガス・タンク・アーチ溶接、被覆アーチ溶接、サブマージアーチ溶接、エレクトロスラグ溶接である。

ガスタンク・アーチ法は溶接部金属が良好な性質を示すという利点があるが経済的でなく、溶接速度が遅いので、ねじれ、縮みが大きくなる可能性がある。

被覆アーチ溶接法は非常に多方面に用いられ、複雑な形状と扱う場合に有用であり、修理作業で使えるであろう。

サブマージアーチ法は重量級大きさ溶接するのに工学的に広く使われ、高電のオートメーションも可能であり、溶着速度も速く、溶接部の特性も優れている。  
(deposition rate)

ガスマスク法も、自動化が可能であり、ガスタンク・アーチ法より溶着速度もかなりはやいが、実用にあたっては、溶接に加之られる種々のものの変化の影響をうけやすい。

エレクトロスラグ法は、溶着速度が著しく速いために、最近非常に注目されるようになってきたが、2in の厚さのステンレス鋼の密封の組立てには、当分広くは使われないであろう。

原子炉密封の溶接後の熱処理もまた重要な問題である。ここでの目的は、密封をアズウエルド状態にする という事である。現在のコードは、ステンレス鋼密封の溶接後 (as-welded condition) の熱処理は必要とはしていないので、寸法制御はうまく取れる限り、そうするのが最善である。勿論、その際のねじれ、縮みは最小にせねばならない。

最善の溶接過程、溶接条件、溶接後熱処理に冶金学的洞察を加えるために、我々は、設計選定状況及びややそれからはずれた選定状況下での溶接部の機械的特性の研究をした。静的引張試験及びクリープ破断試験が行なわれつつある。

これらの特性は、金属組織学的構造と比較された破壊のモードは、電子顕微鏡によって調べられている。

我々は、溶接棒の被覆がクリープ破断時に頭着を易傷を与える事を見出した。例えば、石灰被覆の溶接棒を用いた溶接部の破断荷重はチタン被覆ないし石灰-チタン被覆の溶接棒を用いた溶接部より著しく短い。サブマージアーク法による溶接鋼は、被覆金属アーク法による溶接鋼より、概してクリープの面では著しく弱いが、じん性はより優れているようである。また、溶接後の熱処理は特性にかなりの効果をする。

## 5. ナトリウム冷却高速炉ループ系の供用中の検査

A.G. Picchett, W. Hawkeworth  
(SRI)

ナトリウム冷却高速炉施設に使用中のサーベイと検査を取り入れるべきであるとする勧告をするものである。このタイプのプラントは軽水冷却、軽水减速の原子力プラントにくらべ、中性子束、熱流束が大きく、運転温度が高く、冷却材はより化学的に活性で面倒であり、運転サイクルはより過酷であり、材料も異り、構造も異なる。

こうした条件のために、この種のプラントの構造物及び要素は、初期状態が十分なものであるという確証を与えるような厳密な品質管理の為の測定を行う必要がある。原子力動力プラントでの破損の背景を調べてみると、品質管理及び標準プラントプロセスモニター装置は、運転条件を達めるにあたって、破損を誘発するよう努めながら品質の不確かさと合致していないといふ事がわかる。液体金属冷却炉領域の構造上の応答及び完全性を通常的に管理するための装置及び手法は、この種のプラントの信頼しうる安全運転を確実にし、予知する事に本質的につながっているように思われる。

全冷却炉領域の検査及びモニタの理想的な能力は、経済的・技術的考慮に基く実用水準に調和したものである。検査システムは、潜在する破損に最も周密すると判断されるこの領域に適用されるべきであり、また将来さらに加之られる領域を検査する能力をもつけるべきである。

ここで提案されたモニタシステムを確立するために、それに與する状況がどうか、をすべて業務は何か、施設として必要なものは何か、開発研究をどうするかなどが

明らかにされている。使用中には、一次冷却系を包むものは、約 900 ~ 1000°F で動作する事になる。シャットダウン温度は約 400 ~ 600°F である。原子炉容器の外側の運転中の照射は、強力な中性子束と線束から成るであろう。シャットダウン中の配管及び各部材からの線強度は 0.5 ~ 1.5 DIN になると考えられる。使用中のモニタリングは、漏洩の検出及び温度、振動、永久波形応力波の放出の測定から成っている。定期的な使用中の検査は超音波によるきずの検出、街回路のテレビを用いた検査、厚さ測定、表面の仕上げをレーリカで調べる事からなる。構造材への照射の影響のサベイとして施設内に置いた試験片の検査も推奨されている。これらのデータは、実際のモニタとともに施設耐用寿命を予知する構造モデルによる解析プログラムに使われる。モニタ及び検査のために近づく事を可能にするような容積及び生物体遮断の設計に必要な点も述べられている。

上述のサベイ及び検査系を可能にするために必要な開発研究の大筋が述べられている。全ての検出器の原型をつくり、使用状況下で試験する事が必要であるエラストマーを用いた超音波用カプラー (*elastomeric ultrasonic couplant*) の基礎データも超音波検出器の設計には必要である。

## <GEAP REPORT>

### 3 TASK-A PROBABILITY STUDY (S.A.Wilson)

#### 3.1 目的

損傷確率の研究は、次点に対する開発方法に対するものである。

- a. 漏洩率と原子炉使用期間とについての原子炉一次系配管システムの信頼性の評価
- b. 使用期間中にいて、真の意味での変動要因・不確定要因は何であるかを明らかにする事

#### 3.2 総論

損傷を予測する式の使用可能性と、損傷メカニズムと配管系損傷確率線図(the piping probability diagram)に説明されている損傷確率にてうして吟味した。未だ関係式がはっきりとできあがってはいないので、提出した式は仮想のものである。破断の確率を評価するという問題は、破断確率分布を調べる方法の形でおこなわれ、基本的な関係式の必要が明らかになっていいる。そのような関係式の中でかぎと立っているものの一つに、荷重のさまざまなタイプ(張、曲げ等)とクラックの主要なエッジ附近でのKの変化を含む関係式である。

#### 3.3 考えられる損傷予測式

- 配管系の損傷確率線図は、図3-1に示す通り(これは The Quarterly Report GEAP-SNS の図3-1を簡略化したものである)
- ここで1~15までの損傷過程及びそれらをつなげる関係は、極めて仮のものではあるが、以下の諸目的に役立たせるためのものである。
  - a. 全ての損傷機構及び損傷段階に対して、特に、限界クラックサイズに対して確率という形でのアプローチが可能である事を確かめること。
  - b. 不十分な構成しかないが配管に関するプラントの安全性を評価するためには、重要なそれらの過程を各々を明らかにすること。
  - c. モデルを確かめたり或は修正したり、またそこでのパラメータを評価したり、他の重要な変動量を定めるという目的を有する実験計画のための基礎を

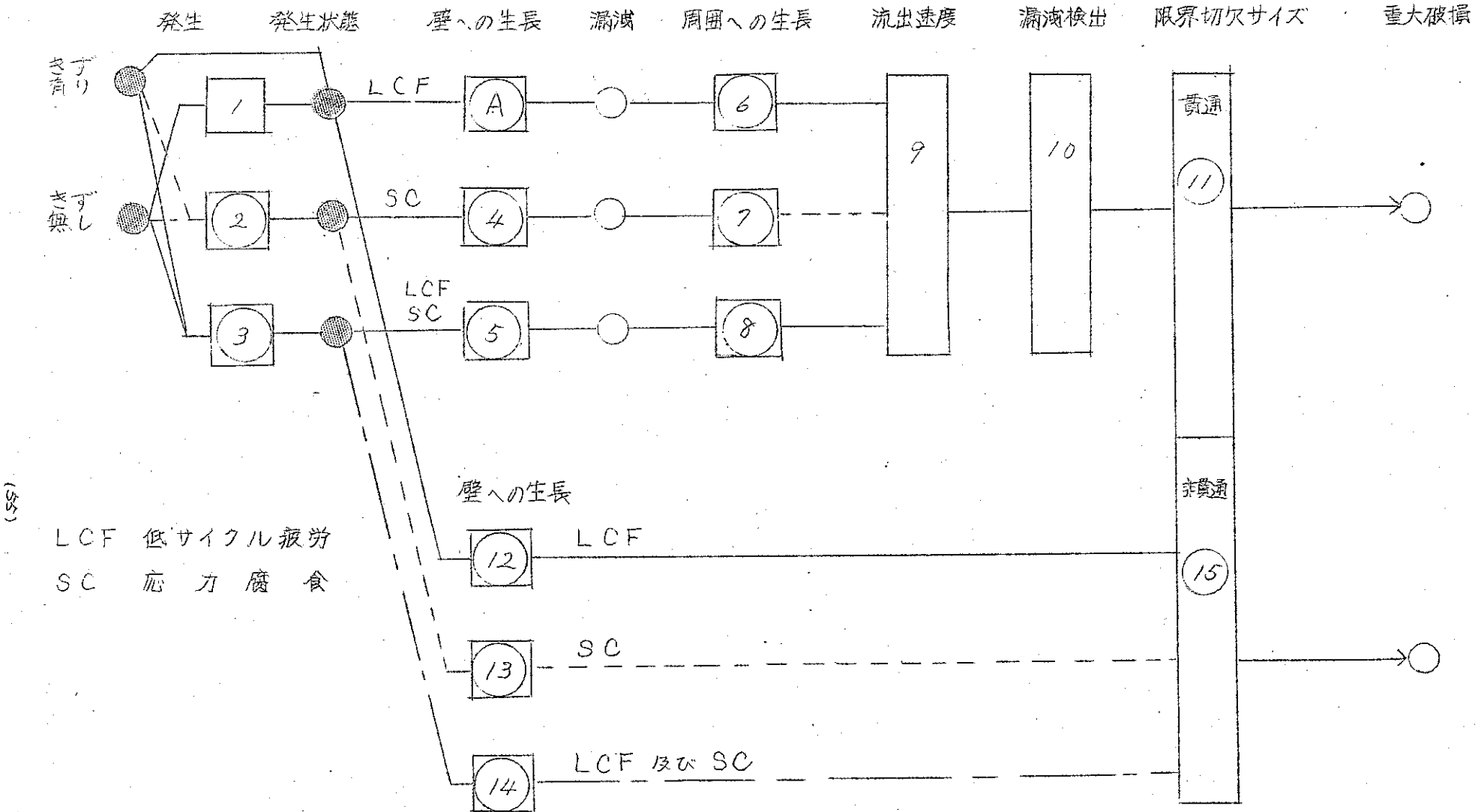


Fig. 3-1 配管プロバビリティー簡約線図

つくること。

- d. 計量スケールが必要な客観的に対し、式で示しましたそのその不確定性の分析ができるようにそれらを示す事。

目的aについては、Fig 3-1 にある系統的な過程全てには、損傷予測のための関係式及び他の必要を入力を有効妥当なものにする必要がある。非系統的なものに対しては、そのような情報は、現在既に得られている。Process "A"は、現在研究中である。

目的bについては、プラントの安全性を評価する上で直接でありながら、未だ情報に乏しい過程は、漏洩が先立たずに重大な損傷になるもの——過程No. 1/4で細長いクラックが壁中に生長するものである。3. 以降でこの問題については詳しく述べる。

目的cについては解剖的及び実験的研究が特に過程1/2へ/4に対しては——必要とちっているようである。

目的dについては、現在計量化不可能な変動量の一例は、“脱炭化度”である。これは、過程2に対する式中に現われ、計量尺度が必要となっている。

全過程番号（1～15及びA）について、ここでは、A, No. 1, No. 4だけは除く。

No. 1に対しては、損傷予測式は、S-N線図及びTask D-1の許でのクラック開始に関する諸研究より現わしうる。過程No. 4の存在は、一定荷重下で流量をカットする事により、クラックが広がる過程（これは同様にNo. 6, No. 8に対しても適用する）を除外すれば疑わしい。従ってNo. 7に対する損傷予測関係式もここでは示さない。

\* 過程2 応力腐食のみにより(一定荷重)クラックが発生するまでの時間

$$\log t = \sum_i a_i x_i$$

$x_i$  = 開始までの時間

$i = 1$  材 料

2 錫敏化度

3 化学的環境

4 温度環境

5 流量環境

6 施 力

7 曲面に対する荷重及びクラック生長の方向

8 表面の仕上げと方向

9 表面冷間加工

10 酸 洗

11 フェライトの量

12 最初の欠陥の深さ

\* 過程3 疲れと応力腐食の総合的効果によりクラックが発生するまでの時間ないし回数

—図示—

\* 過程4 応力腐食のみによる(一定荷重)クラック生長速度

$$da/dt = A K^B$$

$da/dt$  = クラック生長速度

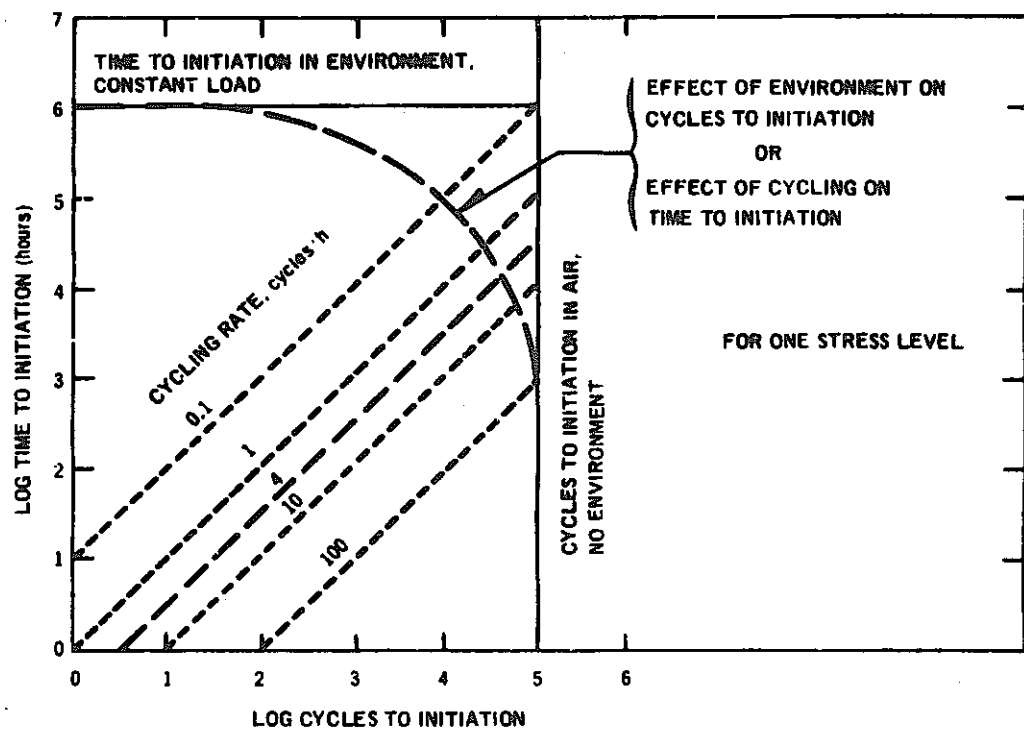
K = 応力集中係数

A及びB = パラメーター

B = 定数 Aが下のように規定されるごとく

A = 過程2にあるのとほぼ同じ複数の関数

**PROCESS 3. TIME OR CYCLES TO CRACK INITIATION  
BY FATIGUE AND STRESS CORROSION COMBINED**



*Note: This Diagram is Intended Only To Illustrate Relationships*

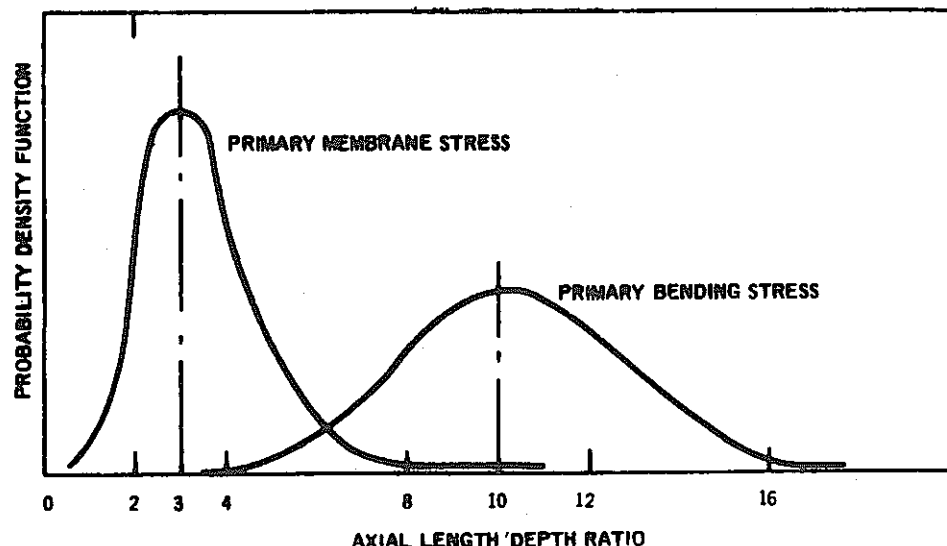
GEAP-10143

**PROCESS 12. LOW-CYCLE FATIGUE**

**PROCESS 13. STRESS CORROSION**

**PROCESS 14. FATIGUE AND STRESS CORROSION COMBINED**

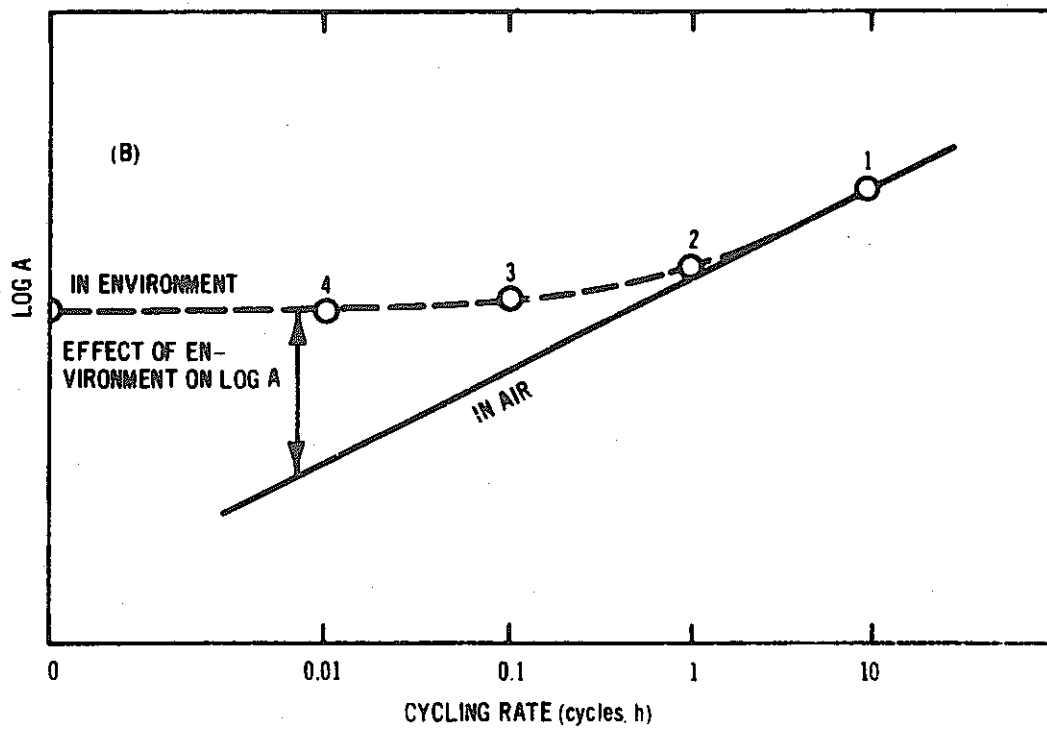
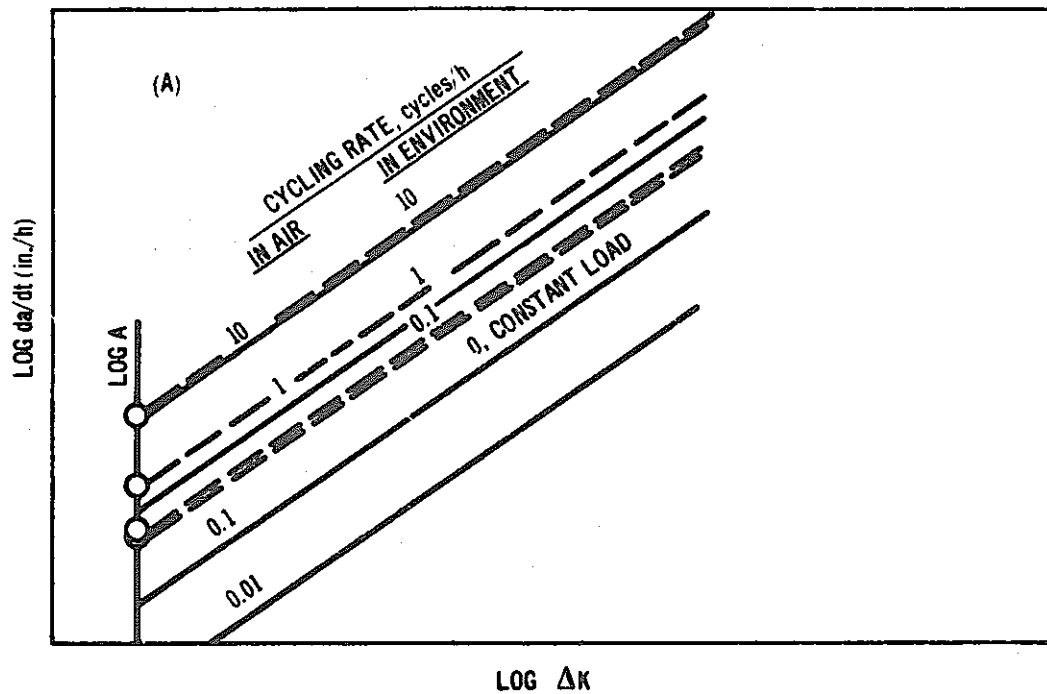
*Crack Growth Through - Characteristic Axial Length/Depth Ratio, Depending on Type of Loading*



A DIAGRAM OF SIMILAR FORM IS REQUIRED FOR SECONDARY STRESSES, AND FOR CIRCUMFERENTIALLY ORIENTED CRACKS.

*Note: This Diagram is Intended Only To Illustrate Relationships.*

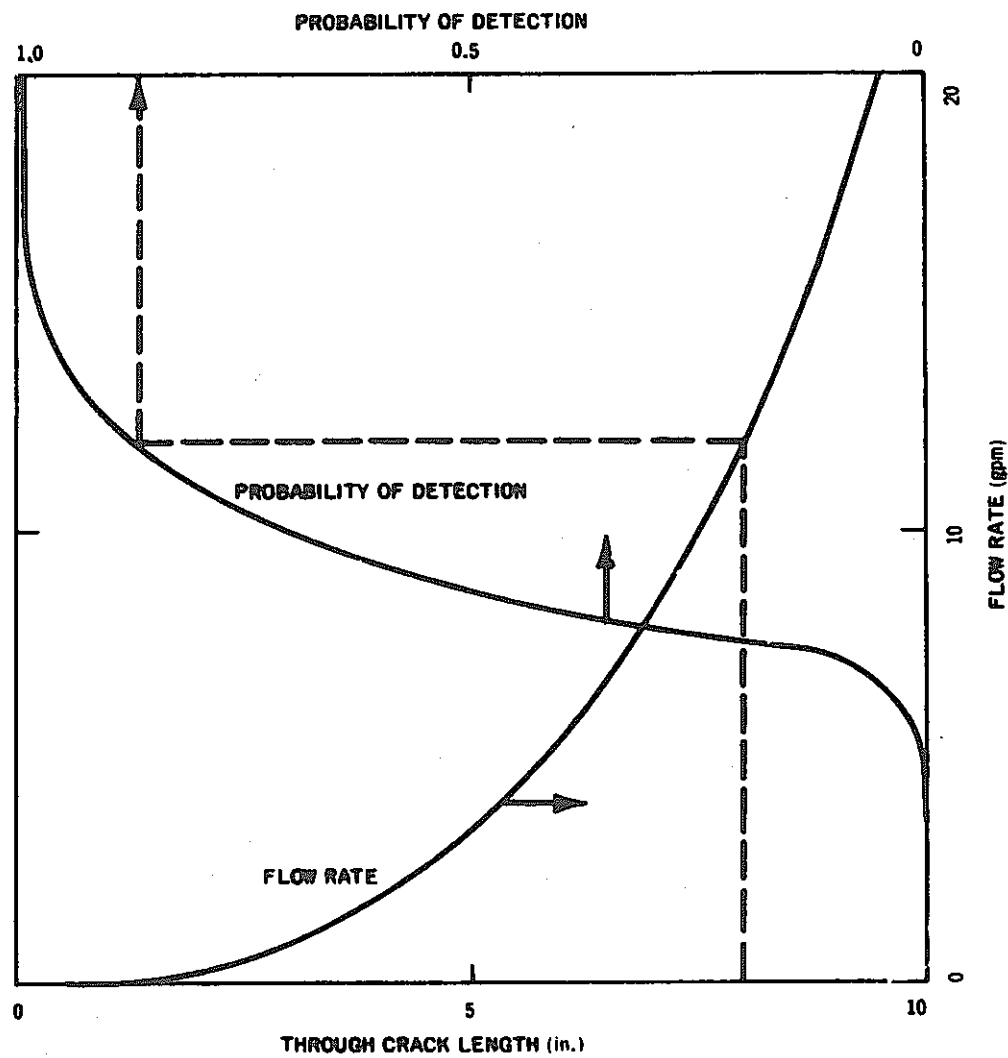
**PROCESS 5. CRACK GROWTH RATE BY FATIGUE  
AND STRESS CORROSION COMBINED**



*Note: These Diagrams are Intended Only To Illustrate Relationship*

GEAP-10143

**PROCESS 9. FLOW RATE VERSUS THROUGH CRACK LENGTH  
PROCESS 10. PROBABILITY OF LEAK DETECTION VERSUS FLOW RATE**



**Note: This Diagram is Intended Only To Illustrate Relationships.**

\*過程5 疲れと応力腐食の総合効果によるクラック生長速度

—図示—

\*過程6 疲れによるクラックの周囲への生長速度

過程8 疲れと応力腐食の総合効果によるクラックの周囲への生長速度

$$da/dx = A(\Delta K)^n$$

$$da/dn = \text{クラック生長速度}$$

$$\Delta K = \text{応力集中係数範囲}$$

(疲れKよりクラックが生長する"A"に対するモデルも同じ)

応力腐食は、周囲への生長、漏洩では、何ら役割を換せぬと仮定してある。

3.3項の末部の、この過程についての記述も見よ。

\*過程9 貢通クラック長さに対する流量

過程10 流量に対する漏洩損出率

—図示—

\*過程11 低サイクル疲労

過程13 応力腐食

過程14 疲れと応力腐食の総合効果

—図示—

### 3.4 重大破損の確率を計算するための方法

この項で重大破損に対し考えられているのは、この確率の評価をなすのに必要な情報が手中にあるのか或は今後得ねばならぬものを判断するためである。

ここでは“重大破損”とは、全断面の瞬時分離ないしは、断面と同じ面積だけ軸方向に前口部ができる場合を想定している。Fig.3-1では、11ブロックは貫通(漏洩)クラックによる重大破損に到る条件を明らかにする事が必要であり、15ブロックは、非貫通(非漏洩)クラックに対応している。漏洩クラックによる重大破損の可能性は、漏洩を検出しうる可能性が大である故 非漏洩クラックによる重大破損の可能性より重要性が小さいように思われる。それ故と非漏洩の場合に対する確率を評価するのに必要な手法の開発を促進させるべく勤める訳である。

非腐食クラックにより重大事故に至るべき限界サイズが、ノットロックに対しても定義される必要がある。広く云えば、これは、応力、クラック長さ、深さが組み合わさってクラックが急速に広がる場合である。同じ大きさの応力に対しても、限界クラックサイズは 材料が強ければ、長くも深くもある。直当な確率の評価をするためには軸方向、円周方向双方に対し (1) 疲れない応力腐食のようなメカニズムにより、特にクラックを発生しやすい材料をつくりがちな組立条件 (2) 発生条件として長い欠陥部を伴う場合及び伴わぬ場合について、長く深いクラックを生長させる荷重条件 (3) これら荷重条件が原子炉配管系で見出される確率はどの程度かを理解する必要がある。

一例の手法を図示したのが Fig. 3-2 である。クラック深さを  $\log$  ( 軸方向クラック長さ ) に対してプロットしてある。図示されているスケールは 壁厚 0.4432 インチの 6- インチ Schedule-80 炭素鋼パイプの室温での値である。応用に柔軟性をもたせるためには、線図は他の壁厚、環境の面からの使用法、他の材料温度に対しても必要である。左の線は  $\pm$  及び  $10\%$  の一定の長さ/深さ比で成長するクラックを示している。右の線は Table C による Reynold のこのパイプの破壊試験値と十分に合致している。それぞれが示されているような長さ及び深さを組み合わせた欠陥を有するパイプが破損する応力の平均値を示す一定円周応力値での線である。クラック生長曲線が、壁貫通深さに達する以前に、限界クラックを示す線と交叉すると、非腐食的重大破損がおこる事が理解できる。

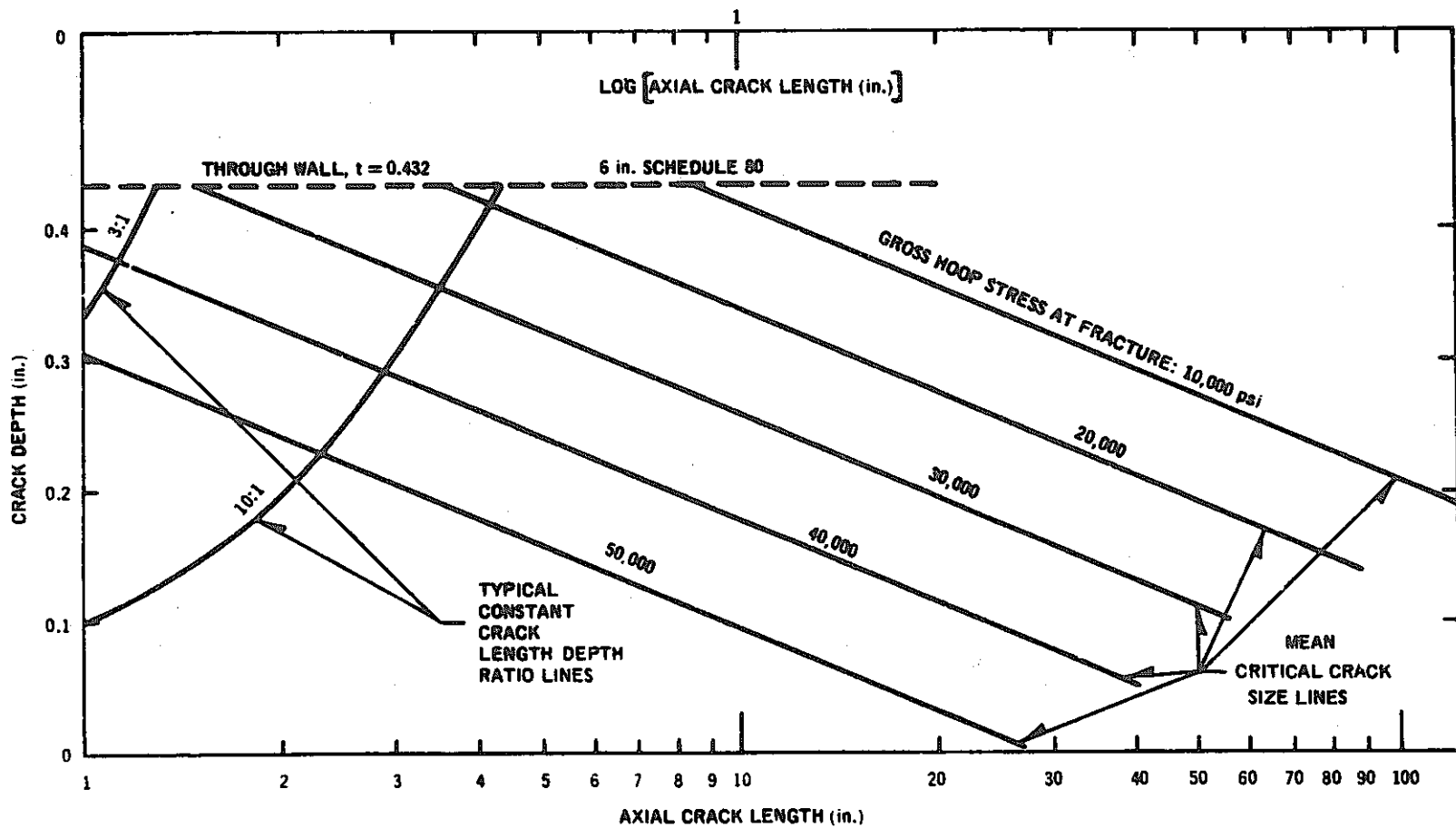
他方 クラック生長線が限界サイズを示す線に達する以前に壁貫通深さに達すると漏洩だけがおこる。(従って重大破損に至るためには クラックは検出され シマットダウンする以前に、限界サイズを示す線に達する程に長さ方向に生長する必要がある。)

クラック生長曲線と限界サイズ曲線の交叉という問題の確率という面からの観点は、次のように考えるべきである。パイプの特定部分で荷重条件が不安定である事をも含めてある荷重条件で、パイプの壁中をクラックが生長するに伴うクラックの長さ/深さ比の分布は、適当な一定の長さ/深さ比曲線を両側に拡げた分布により示し得る(この比が荷重条件下でクラックの深さについて変化

する場合には、非一定曲線に対して同様にする)この情報を得るのに必要な点については、次の文節で述べてある。特定の長さ/深さ比のクラックが限界値となる応力の分布は、示されている坪井の応力曲線を両側に拡大して得られる。それとなく示されたように、クラック生長曲線(左し、その分布範囲内のある曲線)が、全壁厚に亘る以前にパイプ局部に対する一定応力曲線(左し、坪井曲線周辺での分布範囲内での曲線)に交又する場合には、クラックは漏洩を生じ、重大破損が生じた事となる。この事象の生ずる確率は、全壁厚に対して送んだ坪井の二本の曲線のまわりでの不安定さに対応する分布部分の重畠部の形で得られる。このような両分布前の差からのアプローチは、確率の評価を破損に到る時間の分布で調べる方法の特徴である。

坪井の限界クラックサイズ曲線を定め、その周囲での分布を示す若干のデータは入手できるが、クラックの生長に伴う及び荷重のタイプによるクラックの長さ/深さ比の一回の大きさと分布を知るために必要な情報は未だである。疲れ或は応力腐食によくクラックの先端周辺の生長の様のクラック生長速度は、その点での応力集中係数に対し  $K^B$  に比例して変化すると考えれば、特定のタイプの荷重ないし各種タイプの組み合せに対するクラック生長曲線は、クラックの先端周辺での  $K^B$  が、荷重のタイプ、即ち 一次膜、二次膜、一次曲げ、二次曲げ応力及び限定された数のパターンの局部的熱応力、残留応力による事が見出せれば、ひく事ができる。長く浅いクラックを生長させるためには、自由表面のクラック端には大きな  $K^B$  値を課す一方、クラック根部は低い  $K^B$  値とするような荷重が必要である。図示にあたっては、二次曲げ応力はこうなる可能性がある。いずれの場合 フィギュアでは、配管系の特定の箇所に対してカテゴリー毎の応力計算値が必要であり、クラックの壁中への生長に伴い、この各種カテゴリーの応力の組合せにより長さ一深さ曲線がいかにひけるかを知る必要がある。さらに、この曲線の変化を如何に特徴づけるかを知る事も必要である。

(77) GEAP-10143



NOTE: AXIAL SEVERANCE IS AXIAL OPENING OF PIPE TO AN AREA EQUIVALENT TO THE PIPE CROSS SECTION.

A DIAGRAM OF SIMILAR FORM IS REQUIRED FOR CIRCUMFERENTIALLY-ORIENTED CRACKS.

*This Diagram is Intended Only To Illustrate Relationships.*

SEE SUBSECTION 3.4 FOR DISCUSSION.

Figure 3-2. Conditions for Axial Severance. Process 11—Part-Through Axial Crack, Process 15—Through-Wall Axial Crack

## 4 Task B - Stress Analysis

### 4.1 目的

応力解析研究の目的は、処理困難な問題であつた配管要素の応力・歪み解析の方法を開発する事である。原子炉配管系の設計者は、配管中の漏洩及び重大破損を避けるべく複雑な荷重下での複雑な配管形状に於る詳細反応力・歪み分布を定め、また、低サイクル疲労、腐食、欠陥サイズの限界値を考えに入れることができないならない。

### 4.2 Task B-1 計算機プログラム開発

計算機コード開発の目的は、複雑な配管の使用中の応力・歪みを定めるのに必要な解析方法を開発する事である。

#### 4.2.1 総論

PAPA計算コード開発の一環として、従来計算コードの評価及びPAPAコードの工学的な面からの検討が進行中である。評価報告書が用意されつつあり、そこでは、将来的業務を推奨している。

## 5 Task C - Fracture Mechanics

### 5.1 目的

この研究の目的は、標準炭素鋼を用いた丁部及びエルボー部での静圧荷重限界を実験的に定め、欠陥の方向による荷重限界を評価する実験式をもあわせ考える。この研究に先立って、ASTM 106Bパイプの直管試験体の静圧荷重限界と欠陥サイズの関係式が取扱われた。現在の研究の目的は、同一材料でできた欠陥を有する丁字部、エルボー部に対して、同様の関係式を定める事である。

#### 5.2 総論

非常に限られた数の試験に基づいてはいるが、ASTM A 234 標準炭素

鋼エルボー部は、軸方向（流れに平行な）の非貫通欠陥に対し、対応する深さ及び長さの軸方向欠陥を有する ASTM A106B パイプの直管部より非銑歯であるように思われる。このようにしてなされた破断試験用配管要素のプログラムには次の様な要素が含まれている。欠陥を有さぬ丁部一体、欠陥を有さぬエルボー部一体、軸方向の欠陥を有するエルボー部三体、円周方向欠陥を有するホルボー部一体。次期には、さらに 15 体の試験体がラストされるであろう。

### 5.3 技術的背景

構造物に対する荷重限界は、荷重負荷面積を減少させ、局部的応力集中をもたらす幾何学的欠陥の存在により減少し、欠陥のサイズが大きくなる程、強度の減少は一様に大となる。幾何学的に単純な形状（例えば、広い平板、広いし薄肉円筒）及び非常に限られた延性しか有せぬ均一な材料のみに対しては基本的原理から荷重限界—欠陥サイズ関係式を算出する事が可能であった。しかしながら、より延性な材料に対しては線型弾性破壊力学の基本的関係式を、実験的修正によって拡張して利用する事も可能であつた。理想的には、大きな脆性構造物中の微小な欠陥に対しては、グロスな形での応力の限界値は 2 つのパラメータのみにより決定される。即ち欠陥のサイズ及び唯一の材料のパラメータ平面歪み破壊靭性  $K_{Ic}$  である。現実の材料を扱う場合には、荷重限界—欠陥サイズの関係式には通常さらに材料のパラメータとして降伏応力がまた円筒の場合には半径及び壁厚が含まれている。内側の流体からの圧力を受ける軸方向かいし円周方向の欠陥を有するパイプ或は他の円筒形状物に対しては適当なる実験式は、壁貫通欠陥の場合には欠陥の長さの函数として静圧荷重限界を示し、非貫通欠陥の場合には長さプラス深さのパラメータの函数として示すよう改形で作られてきた。壁貫通及び非貫通欠陥を有する ASTM A106-B パイプの破損のしかたについての情報は先行する試験で得られた。

### 5.4 現在の研究

現在の研究は、欠陥を有する ASTM A-234 丁部及びエルボー部に対する

る補正荷重限界を定めようとする方向に向かっている。計画された試験は、欠陥を有さぬ比較試験を除けば、非貫通欠陥を有するムインチ Schedule-8 の要素に限定されている。研究中の欠陥の形状は Fig 5-1 に示されてい る。欠陥の深さは必然的に外表面に取りつけた工具を基準として測定するために残留厚さは、壁厚のばらつきの影響を受ける。欠陥のサイズは、長さ（直）及び残留厚さ・壁厚比の形で示されており、先の報告書で用いた命名法とも合致している。また、試験手法は、試験温度  $60^{\circ}\text{F}$  で先に示されたのと同様である。ホルバー部及び T 部は 1 フィートの蓋付 A 106 B パイプに溶接されている。

### 5.5 今日までの結果

試験体に関するデータは、Table 5-1 に与える。T 部ないしエルボー部の壁厚は幾何学的応力集中を防ぐために対応するサイズ及びスケジュールのパイプ要素の壁厚より厚い。しかしながら、欠陥を有さぬ T 部及びエルボー部の破裂試験で目破損は結合のフロッテ部で開始した。破壊は剪断破壊として始まり、次に巨視的に房開約な破壊 (flat fracture) にかかり、取りつけたパイプ部分の端部まで進んだ。

エルボー部の破壊強さは、欠陥なしの場合の強さのどれだけに相当するかの形で、直管に対して作られた破壊線図である Fig 5-2 に、欠陥長さの逆数に対してプロットしてある。試験結果のこのような表示によれば、軸方向の非貫通欠陥を有する直管部分のデータとの比較ができる。僅か三体のエルボー部の試験体からのデータだけではあるが、エルボー部は、直管部分より軸方向の（流れに平行な）欠陥に対しては、やや敏感さを乏しいようである。この点をはっきりと解決するためには、さらにデータが必要である。円周方向欠陥を有するエルボー部は、僅か一体が試験されただけであるから（試験体 E-13-8）何の結論もひき出し得ない。

GEAP-10143

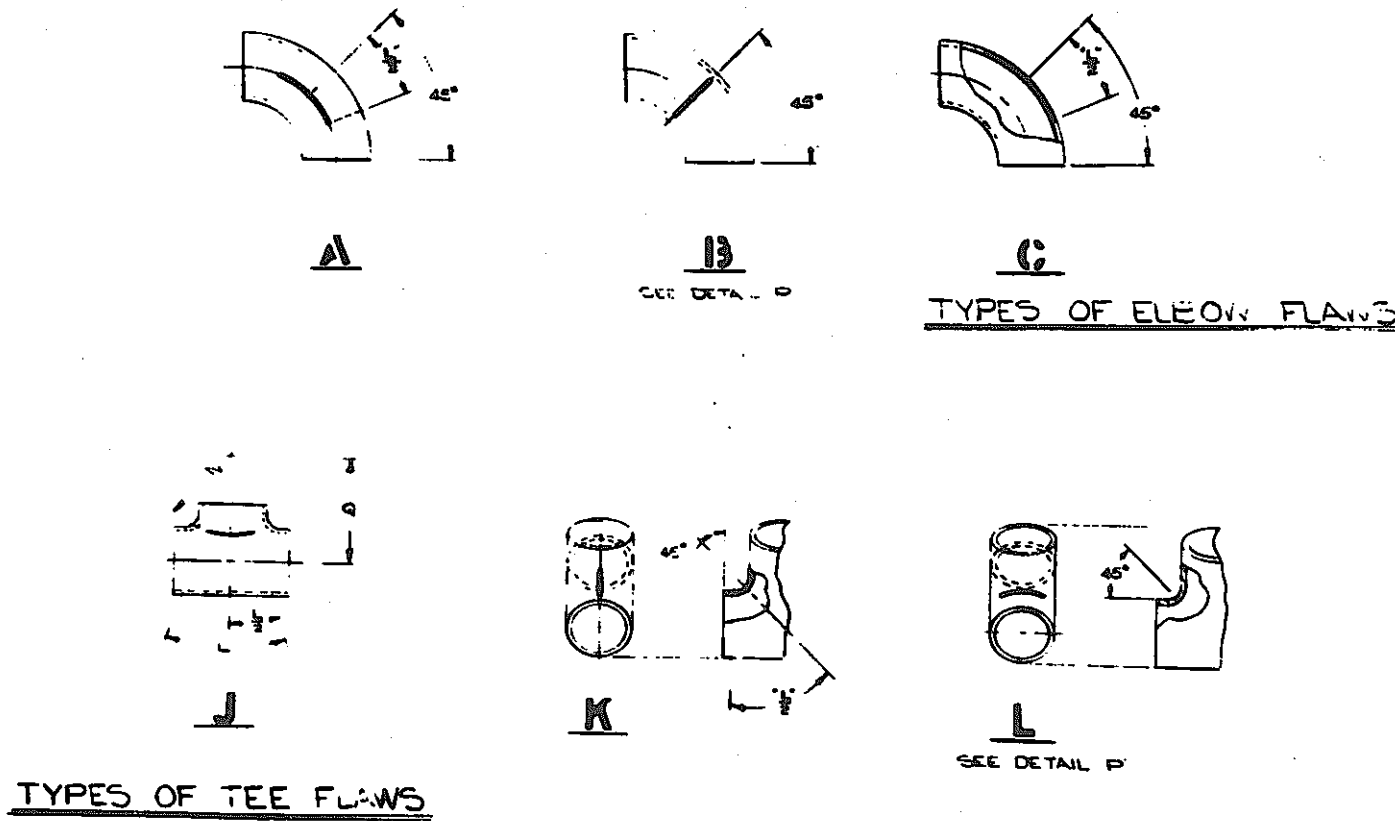
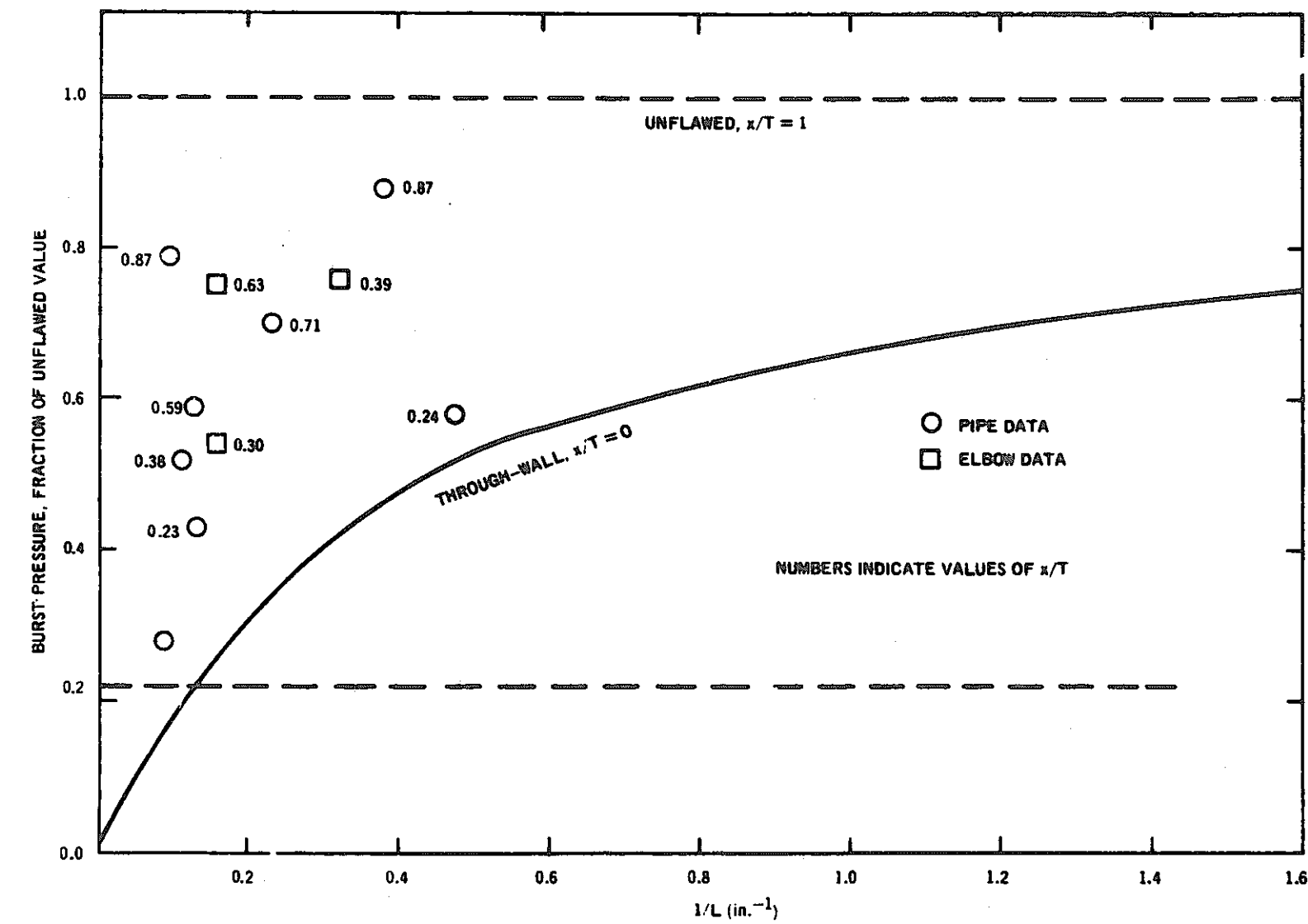


Figure 5-1. Machined Flaws in Elbows and Tees



GEAP-10143

Figure 5-2. Fracture Diagram Developed for Straight Pipe, Showing New Data for Elbows for Comparison

Table 5-1  
FAILURE STRENGTH OF FLAWED ASTM A234 STEEL PIPE COMPONENTS

Specimen	Flaw(f)		$L(a)$	$d(b)$	$x/T(c)$	$P(d)$	$P/P_0(e)$	$1/L$
	Type	$L(a)$						
T-1-B	None	0	0	1.00	1.00	8880	1.00	"
EL-1-B	None	0	0	1.00	1.00	8680	1.00	"
EL-1A-B	A	3.13	0.30	0.39	0.39	6560	0.76	0.32
EL-2A-B	A	6.31	0.164	0.30	0.30	4700	0.54	0.169
EL-3A-B	A	6.30	0.322	0.63	0.63	6470	0.75	0.159
EL-1B-B	B	7.25	0.316	0.20	0.20	5860	0.68	-

- (a)  $L$  = Flaw length, inches
- (b)  $d$  = Flaw depth, inches
- (c)  $T$  = Wall thickness, inches
- (x) = Ligament thickness, inches
- (d)  $P$  = Failure pressure, psi
- (e)  $P_0$  = Failure pressure, unflawed
- (f) See Figure 5-1 (GE Drawing 106D4074)

## 5.6 REFERENCES FOR SECTION 5

1. Reynolds, M. B., *Failure Behavior in Axially Flawed ASTM A-106B Pipes*, Paper 69-SESA-3, presented at meeting of Society for Experimental Stress Analysis, Houston, Texas, October 1969.
2. Quirk, A., *Effects of Material Properties and Component Geometry on Unstable Propagation of Defects*, Paper 69-SESA-2, presented at meeting of Society for Experimental Stress Analysis, Houston, Texas, October 1969.
3. Eiber, R. J., Maxey, W. A., et al., *Investigation of the Initiation and Extent of Ductile Pipe Rupture*, Report BMI-1866, Battelle Memorial Institute, Columbus, Ohio, July 1969.
4. Reynolds, M. B., *Failure Behavior in ASTM A-106B Pipes Containing Axial Through-Wall Flaws*, GEAP-5620, July 1968
5. Reynolds, M. B., *A Failure Diagram for Axially Flawed Pipes*, GEAP-5622, April 1968.
6. GEAP-10024, Quarterly Report No. 16, P. A. 37.

GEAP-10143

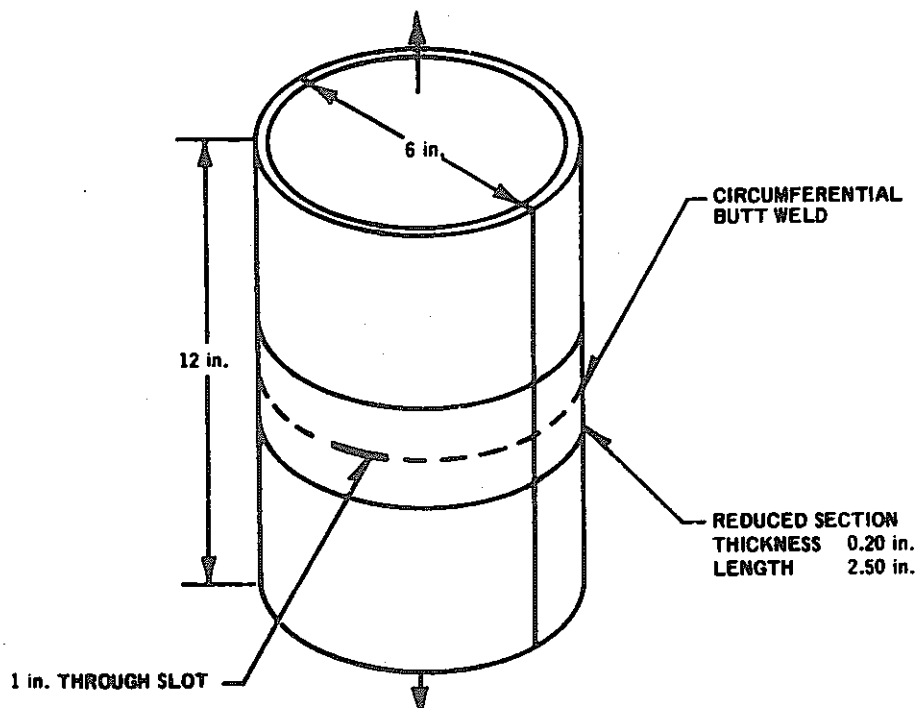


Figure 6-1. Sketch Showing Two Halves of Butt-Welded Pipe Specimen Arranged for Cyclic Tensile Loading

## 6. Task D - Low - cycle Fatigue

### 6.1 目的

疲れ研究の目的は、以下の通りである。

- (a) 構造上の或はさすとしての欠陥を有する高圧配管要素に於ける低サイクル疲れによるクラックについての理解を深める。
- (b) この知識を用いて、原子炉配管での疲れによるクラックの発生、成長を防止ないしは制御する合理的な設計基礎を構築する。

### 6.2 Task D-1 Fatigue Crack Growth Studies (A. J. Brothers)

#### 6.2.1 論 論

クラック成長速度は A 104-B 及び Type 304 ステンレス鋼パイプのつり合わせ溶接、直径 1 インチ Schedule 40 の部分で行った。この結果を、非溶接部で従来得られた結果を比較すると非常に類似した速度を示すクラック成長の様相が示されている。

#### 6.2.2 つり合わせ溶接パイプの溶接材料中のクラックの成長

パイプ材料及び形状の「原型」でのクラックの成長速度を明らかにするために非溶接の A 106-B, 2 1/2 Cr-1 Mo, Type 304 鋼の半円筒状パイプ試験体で、かつてその速度が測定された (No. 8~10)。この試験は、クラックの成長速度が、平板状試験体の場合よりかなり大きい事を示した。しかしながら、この差は、平板形状に対するパイプの形状効果を反映したものである事が後に示された (No. 16)。

以下に示すのは、先の試験と同一の半円形状を用いたつり合わせ溶接、直徑 1 インチ Schedule 40 A 104-B 及び Type 304 ステンレス鋼パイプでの室温でのクラック成長速度の結果を示したものである。

(Fig 6-1)

パイプ試験体は、炭素鋼及び Type-300 番の鋼に対する在來の溶接手法で溶接された。Type 304 ステンレス鋼に対しては、特別に必要とされる条件は、TIG による手溶接を Type 308 ステンレス鋼を

溶接材料として用いられておこなうといふ事である。また A106B パイプについては溶接材料として低炭素高マンガン鋼を用い、TIGによる手溶接及び板縫アーチ手溶接を組み合わせて溶接する方法が採られた。いずれの場合も溶接後の熱処理は行われなかつた。A106Bパイプでは溶接部の硬度は 215 DPH であり、母材が 145 DPH であるのに較べ大であった。Type 304 鋼の溶接部の硬度は明らかにならなかつた。

疲れ試験に先立つて、パイプの外径より 溶接金属による粗面部を除き、また切削部分では 0.2 インチの一様な壁厚になるように内径の厚さを減じた。この工程は、Type 304 鋼ではうまくいったが、A106B での溶接による肉厚部は全領域では平坦とはならず、一部の溶接部は母材部より 0.01 インチ厚かつた。この差は 僅かではあるが、次の節で示されるようにクラックの通過する形状の内のいくつかを説明しらるようである。

この試験では、クラックの成長は、両部分に対し正確に対称で等しくなる事はめつたないので、クラックの長さは、試験体の両側でとりつけた右の物差を用いて測定され結果を平均してサイクル数の函数としてクラック長さの成長曲線を定めた。応力集中係数との相関を定めるために、平滑化したクラック成長曲線のそれぞれを解析して、クラック長さの増分によって、クラック成長速度の値を定めた。クラック長さの増加量と対応する潜伏期間は、クラックの成長曲線が、それぞれの増加範囲内では、見かけ上線型であるようヒ送んである。応力集中係数の値は、成長速度が測定されたものに対応する平均クラック長さに対して計算した。

今日までに試験された A106-B 鋼及び TYPE 304 鋼に対するクラック成長曲線はそれぞれ Fig. 6-2, 6-3 に示されている。その特徴は、従来の二種の試験の特徴に概して合致しており傾きは増加を示している。即ちクラック成長速度はクラック長さ及びクロスを意味での断面応力の函数としてそれが増加するにつれて、より速やかになる。二つの高応力レベルでの A106B 試験に対する曲線の、一見異常に位置は恐らく二つの試験の看しく類似した応力レベルに伴なうばらつきによるものである。

クラック成長速度と応力集中係数との関係は Fig. 6-4, 6-5 に示されて

いる。この図からまた非溶接パイプについて従来得られた結果との比較が可能である。この比較によれば Type 304 鋼では、溶接体も非溶接体も本質的に同じ結果を示しているようである。A 106 B 配管に対する同様の結果からは、溶接した方が生長速度は僅かに遅いようである。

二種の鋼に対するクラック生長路を調べてみると、Type 304 鋼ではクラックの生長は例外なく溶接部でおこっており、この部分は、母材よりもクラック生長に対する抵抗は等しいかもしくは若干劣る事を示しているようである。

A 106 B のクラック路は、最初は溶接部を通るが、高応力状況では、長さが増加するにつれて母材に向がっていく傾向を示している。このふるまいは、溶接金属がクラックの生長に対してやや大きな抵抗を有するか、或は、この材料では、溶接部の厚さがやや大である事に由来する影響のためであるか、そのいずれかを示している。(図 6-6 を見よ)

### 6.3 Task D-2 - Crack Initiation (E. Krempl)

総合レポートは、現在準備の最後段階にある。

### 6.4 Task D-3 Prototype pipe Fatigue (J. D. Heald)

#### 6.4.1 総論

試験は、 $550^{\circ}\text{F}$ で、平面外荷重の加わったエルボー部原型 HSL-S-2 でなされた。この試験体についてのデータをまとめると以下の通りである。

サンプル番号	HSL-S-2
材 料	Type 304 ステンレス鋼 Schedule 40
試験体の型式	エルボー部
試験温度	$550^{\circ}\text{F}$
荷 重	平面外
内 壓	なし
応力範囲、公称	42,200 psi
カンチレバーの末端ぶれ	±10.38 インチ

クラック発生サイクル ( $N_1$ )	1799
全壁貫通に到るサイクル ( $N_w$ )	1870
	(81) *
試験終了サイクル ( $N_d$ )	2089
	(219) **

\* 壁中生長の全振幅サイクル ( $N_w - N_1$ )

\*\* 貫通後の全振幅サイクル ( $N_d - N_1$ )

#### 6.4.2 得られたデータ

##### 6.4.2.1 クラック発生

893サイクルで2.20インチの長さのクラックがエルボー溶接部へのレバーアーム部に隣接するパイプの底部に見出された。このクラックは、溶接により修繕し試験を続けた。1307サイクルでエルボー溶接部へのレバーアーム部に隣接するパイプの上部でも見出された。このクラックもまた修繕し、試験を続けた。どちらのクラックも視覚により検出されたが、不活性ガス漏洩試験により示されたごとく、壁を剥いたものであった。1299サイクルで三つの別々のクラックがエルボー部の外表面上に、視覚により検出された(Fig. 6.7)。クラックA及びCはエルボー上部に在り、円周方向を向いていた。クラックBは、エルボーの底部に在った。

##### 6.4.2 壁の貫通

1870サイクルでクラックAでは漏洩(全壁貫通)が検出された。

1874サイクルでオ四のクラック(クラックD)が先に述べた最初の溶接による修繕の熱影響部分のエルボー底部に検出された。貫通後はクラックA及びDだけが生長を続けた。最終的なクラックの形状は図6-8及び6-9に示されている。

### 6.4.3 総論的報告書

“配管の原型の低サイクル疲れ (low cycle Fatigue of prototype Piping)” という題の総論的報告書は、既に準備され、出版に付された。

その報告書は、1967年を通しての Task D-3 に関する全研究をカバーしている。

GEAP-10143

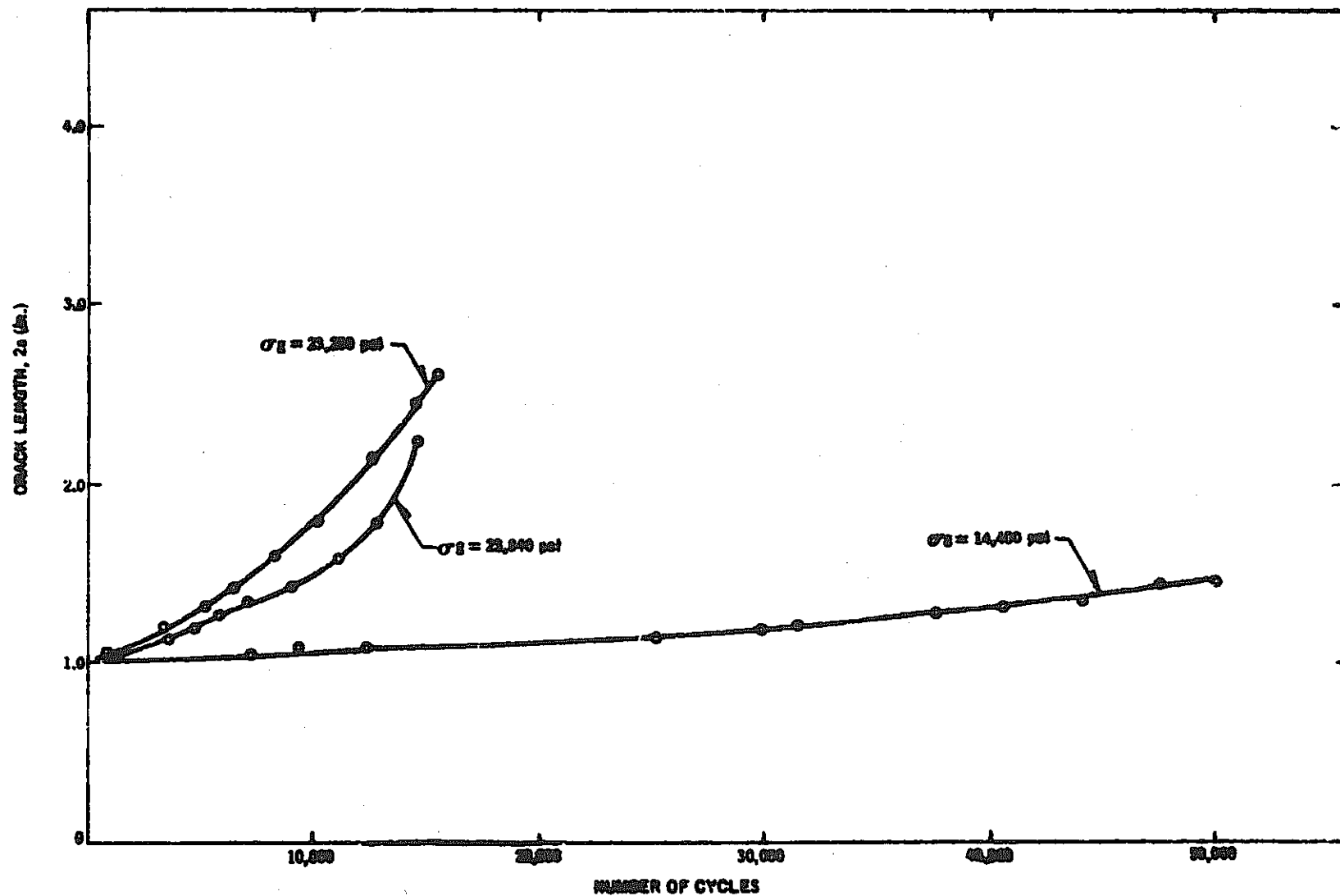


Figure 6-2. Crack Growth Curves for Weld in A106-B Butt-Welded Pipe

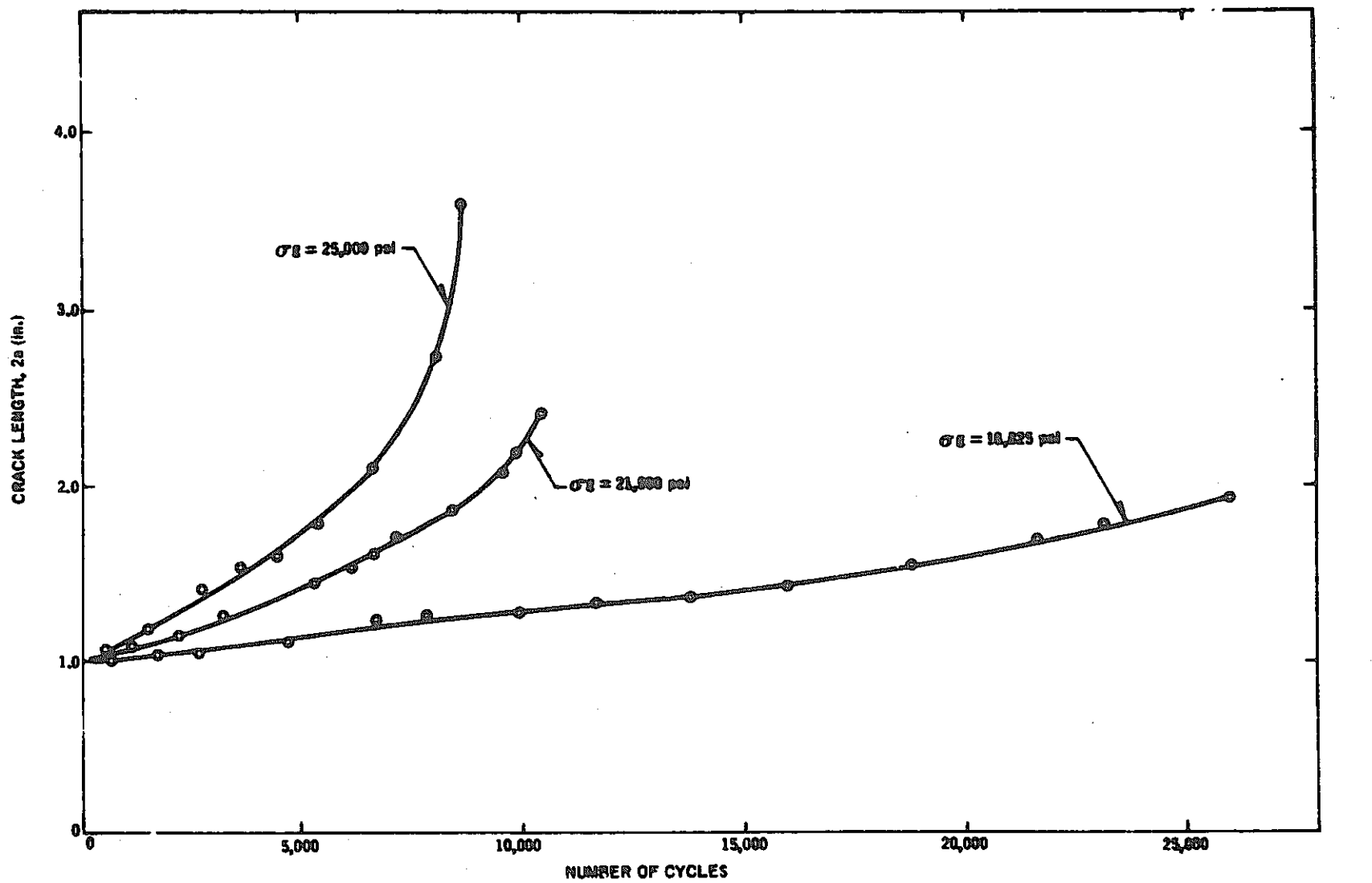


Figure 6-3. Crack Growth Curves for Weld in Type-304 Butt-Welded Pipe

GEAP-10143

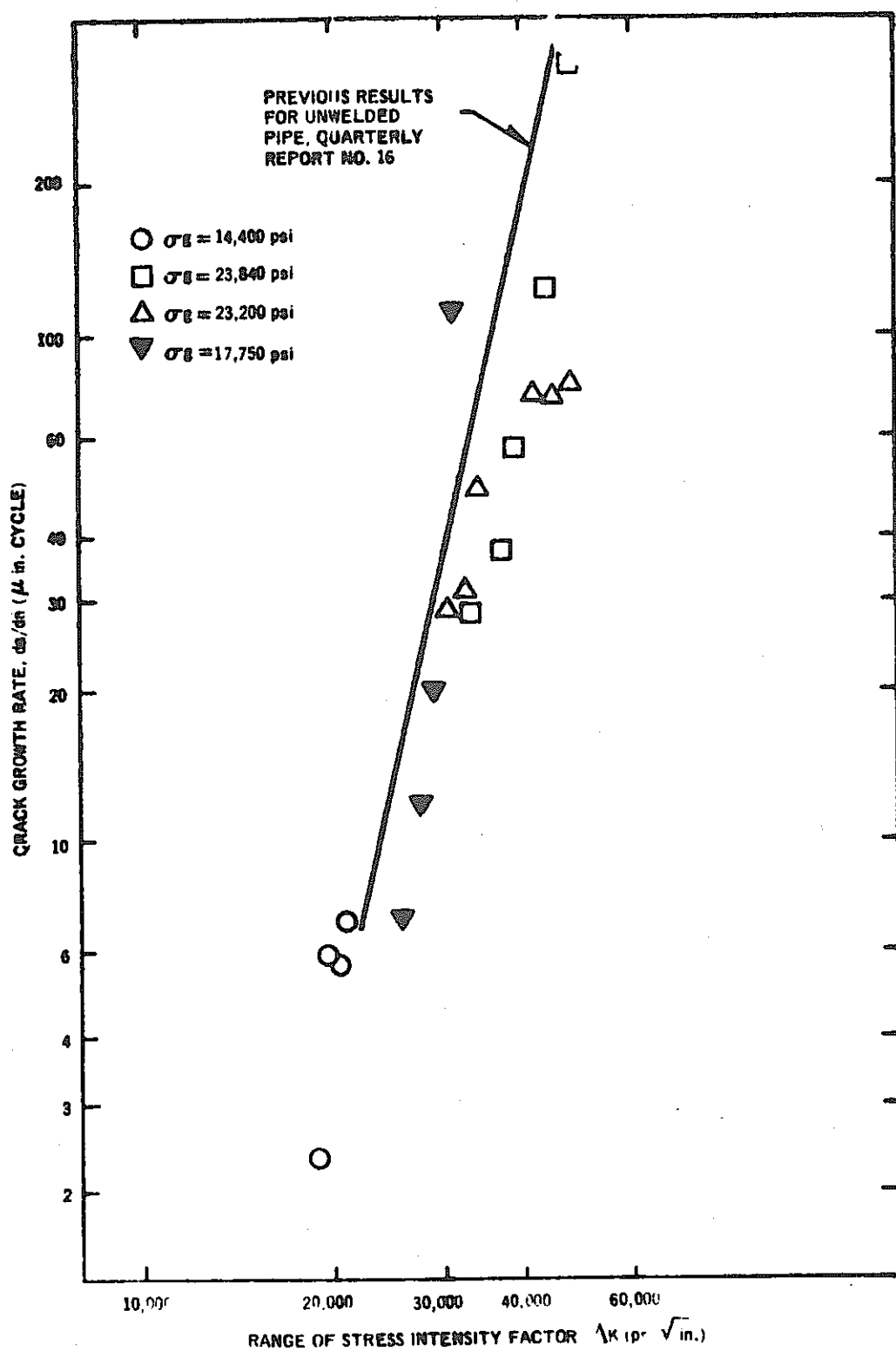


Figure 6-4. Crack Growth Correlation for Butt Weld Compared to Base Material in A106-B Plain Carbon Steel Pipe

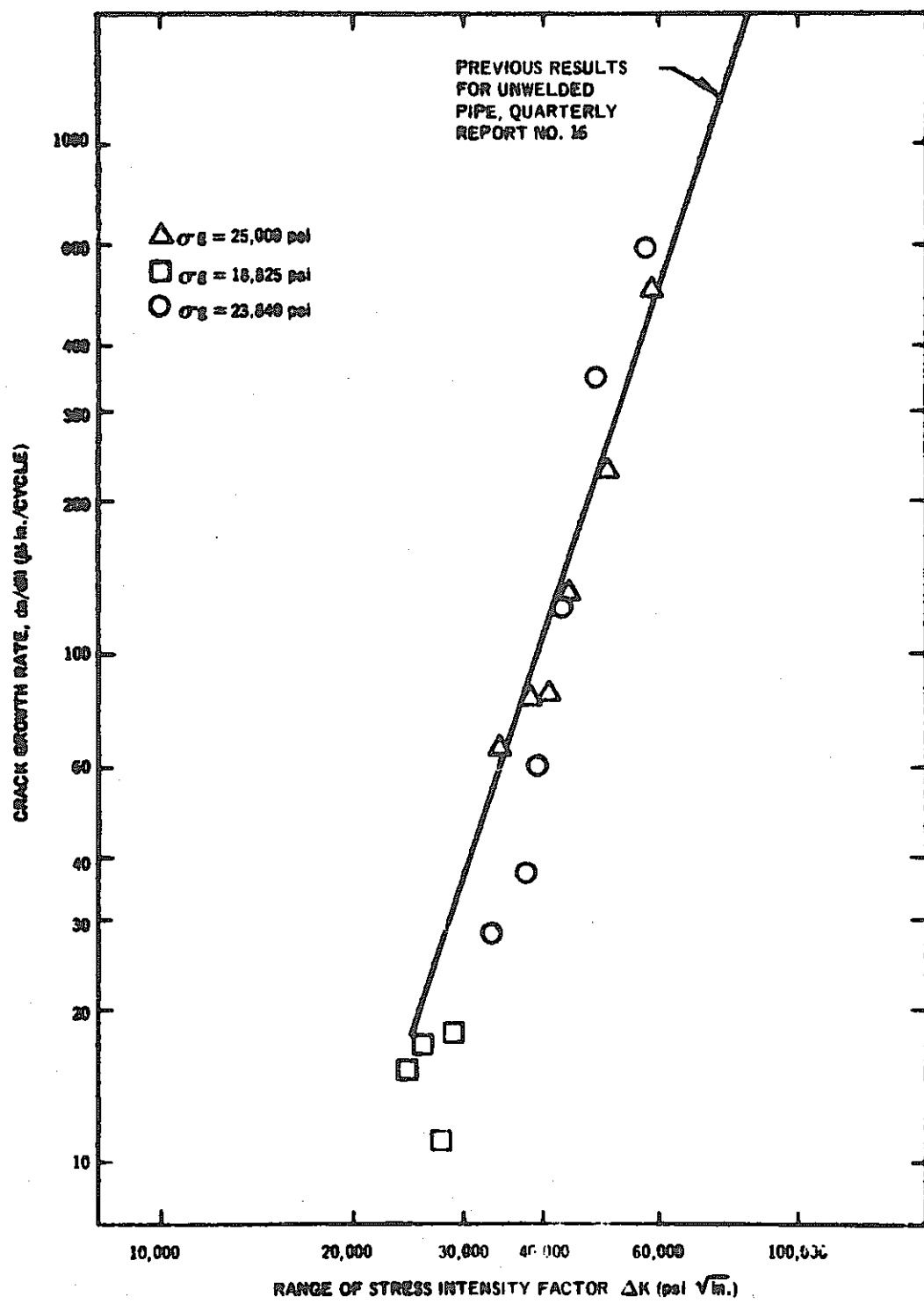


Figure 6-5. Crack Growth Correlation for Butt Weld Compared with Base Material in Type-304 Stainless Steel Pipe

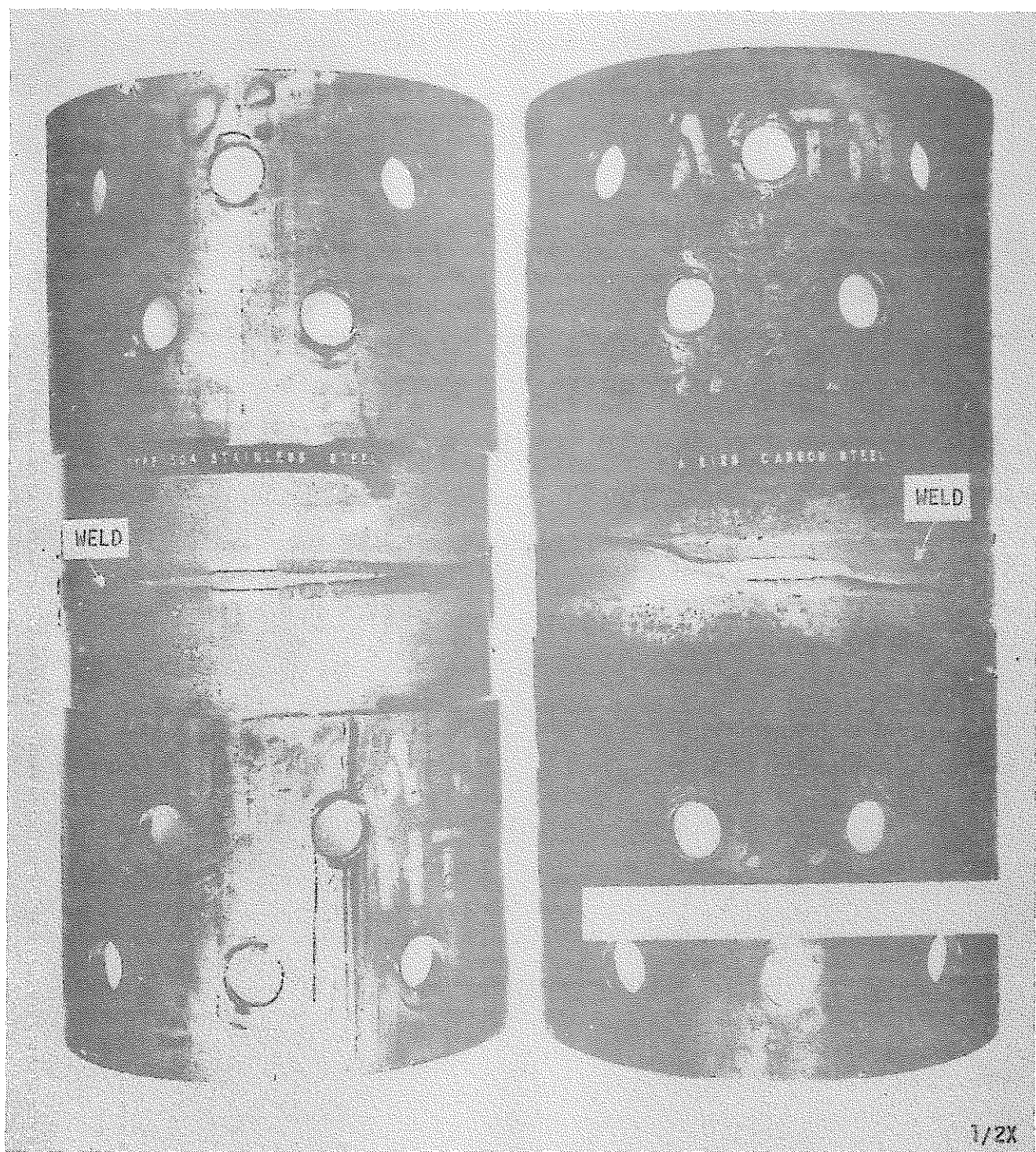


Figure 5-6. Macroscopic Features of Fract Specimens Showing Variation in Crack Path.

(C7)

GEAR 1016



Figure 6-7. Closeup of Top Cracks, Stainless Elbow, Sample HSL-2, After 1700 Cycles

GEAP 10143

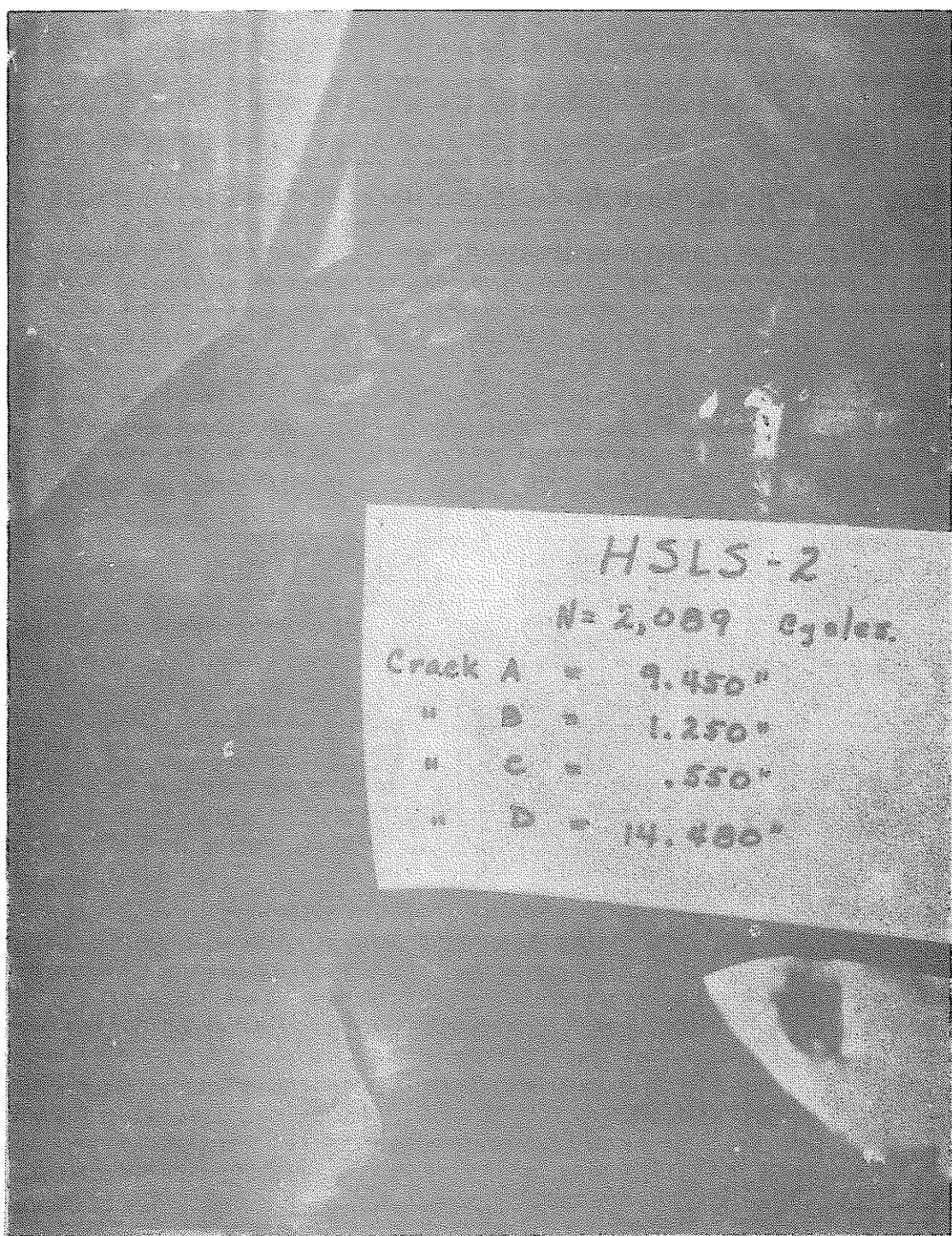


Figure 6-2. Final Fracture Geometry (Top Side), Sample HSLS-2, After 2000 Cycles

CRAY-10160

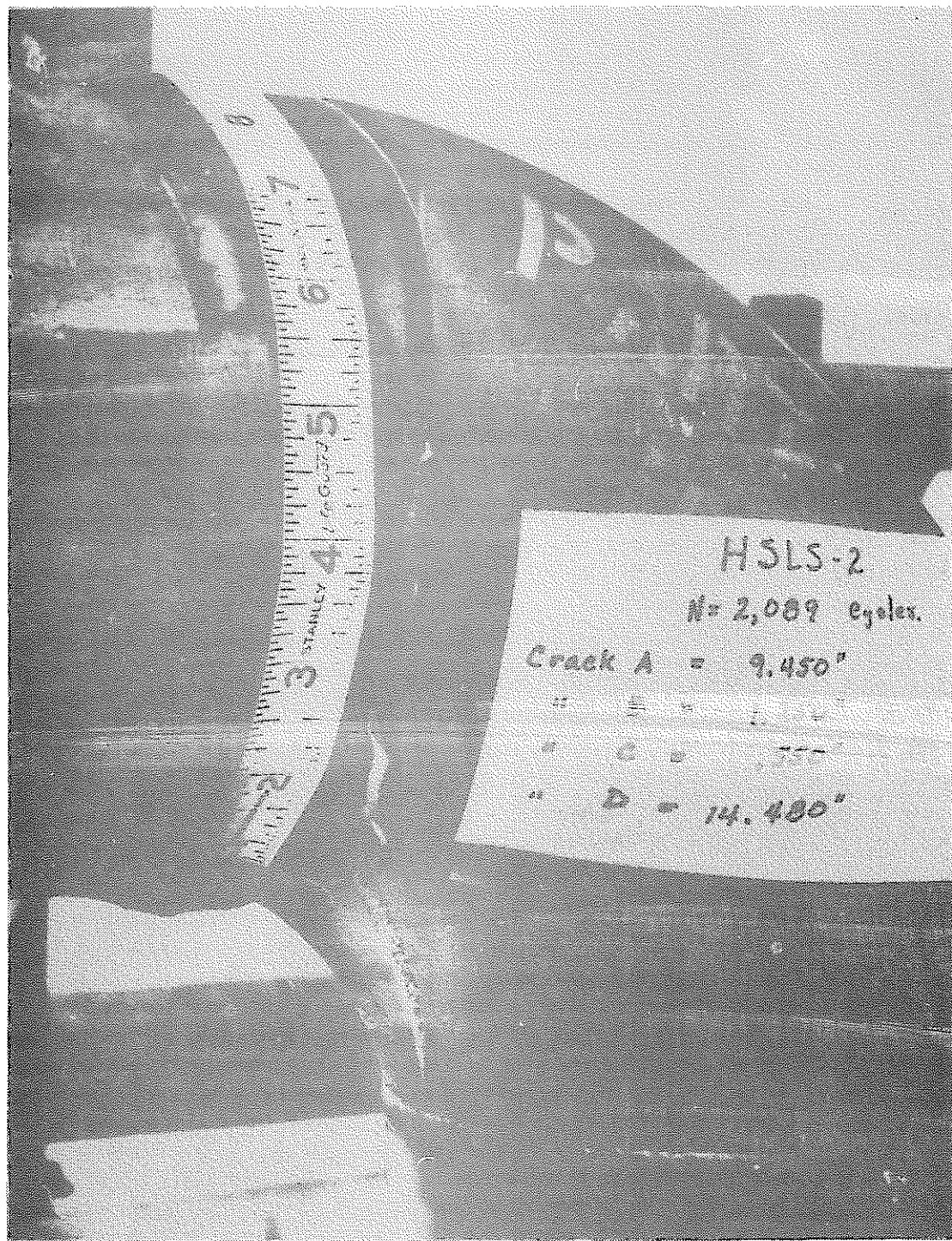


Figure 8-3. Final Fracture Geometry, Bottom Side, Sample HSL-S-2, After 2069 Cycles.